

Optimisation aérodynamique par modèle réduit POD et méthode à région de confiance

Michel Bergmann

Laurent Cordier & Jean-Pierre Brancher

`Michel.Bergmann@ensem.inpl-nancy.fr`

Laboratoire d'Énergétique et de Mécanique Théorique et Appliquée

UMR 7563 (CNRS - INPL - UHP)

ENSEM - 2, avenue de la Forêt de Haye

BP 160 - 54 504 Vandœuvre Cedex, France



Plan de l'exposé

Introduction

I - Etude paramétrique & influence des paramètres de contrôle

II - Méthodes mathématiques

La théorie du contrôle optimal

Réduction de modèle par Décomposition Orthogonale aux valeurs Propres (POD)

III - Optimisation *avec* réactualisation de la base POD

Méthode adaptative

Méthode à région de confiance

Conclusions et perspectives



Optimisation de l'aérodynamique interne et externe d'un avion par *contrôle des écoulements* : un enjeu majeur pour le développement du transport aéronautique

● Optimisation aérodynamique

- Augmentation de l'autonomie en vol
- Diminution de la masse au décollage
 - ↔ Réduction des coûts opérationnels
- Réduction de l'émission de gaz polluant
- Réduction de la nuisance sonore
- Gain de manœuvrabilité

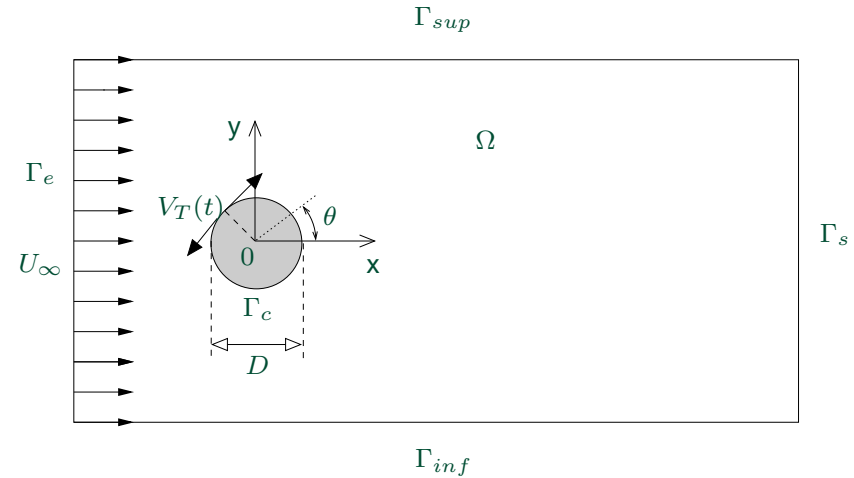
● Exemple chiffré

- Réduction 1% consommation mondiale de fuel pour le transport aéronautique
 - ↔ gain de dépense de 1,25 millions de dollars par jour en coût opérationnel (valeur en 2002)



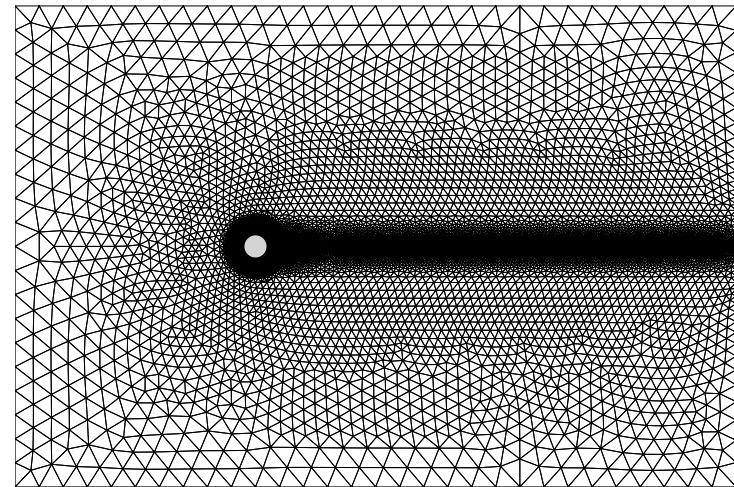
Introduction Configuration et méthodes de résolutions numériques

- Écoulement 2D autour d'un cylindre circulaire à $Re = 200$
- Fluide visqueux, incompressible et newtonien
- Vitesse tangentielle $V_T(t)$ appliquée au cylindre



- Méthode à pas fractionnaires (correction de pression) en temps
- Éléments finis (P_1, P_1) en espace

Code de calcul développé par M. Braza et D. Ruiz (IMFT-ENSEEIH).



Introduction *Rotation à vitesse constante*

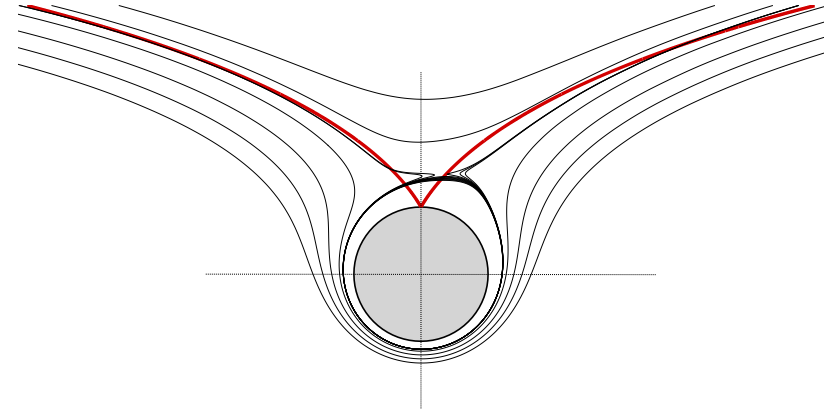
► Rotation constante : $V_T(t) = V_0 U_\infty$

Observations numériques,

- Si $V_0 = 3,6$ un seul point d'arrêt
- Si $V_0 \geq 3,6$ plus de sillage, $C_D \rightarrow 0$.

Analytiquement, $V_0 = 3,1$

[Glauert, Proc. Roy. Soc., 1954]



Introduction *Rotation à vitesse constante*

► **Rotation constante** : $V_T(t) = V_0 U_\infty$

Observations numériques,

- Si $V_0 = 3,6$ un seul point d'arrêt
- Si $V_0 \geq 3,6$ plus de sillage, $C_D \rightarrow 0$.

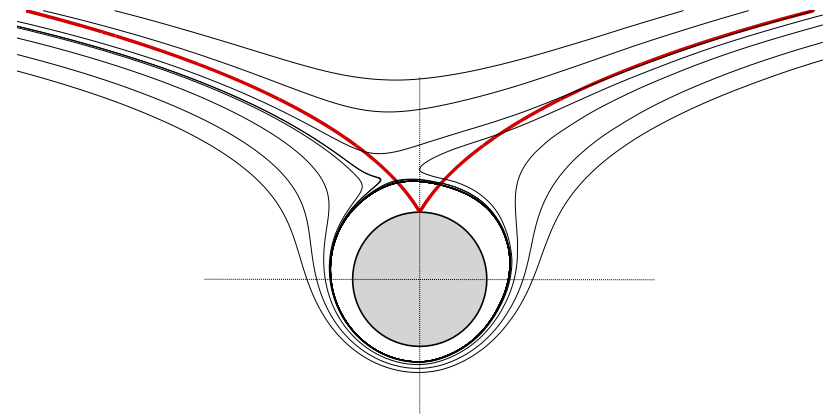
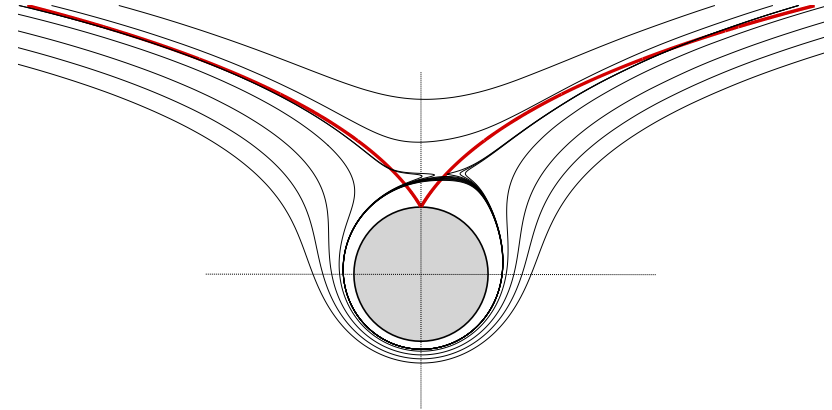
Analytiquement, $V_0 = 3,1$

[Glauert, Proc. Roy. Soc., 1954]

► Contrôle appliqué juste sur la partie $\theta_{min} \leq \theta \leq \theta_{max}$ (utilisation de la forme de Von Mises des éqs. de CL [Batchelor, JFM, 1956])

$$\text{Circulation } \Gamma = 2\pi R V_0 \sqrt{\frac{\theta_{max} - \theta_{min}}{\pi}}$$

- $100^\circ \leq \theta_c \leq 160^\circ$
- $V_c = \sqrt{3}V_0$



Introduction *Rotation à vitesse constante*

► Rotation constante : $V_T(t) = V_0 U_\infty$

Observations numériques,

- Si $V_0 = 3,6$ un seul point d'arrêt
- Si $V_0 \geq 3,6$ plus de sillage, $C_D \rightarrow 0$.

Analytiquement, $V_0 = 3,1$

[Glauert, Proc. Roy. Soc., 1954]

► Contrôle appliqué juste sur la partie $\theta_{min} \leq \theta \leq \theta_{max}$ (utilisation de la forme de Von Mises des éqs. de CL [Batchelor, JFM, 1956])

$$\text{Circulation } \Gamma = 2\pi R V_0 \sqrt{\frac{\theta_{max} - \theta_{min}}{\pi}}$$

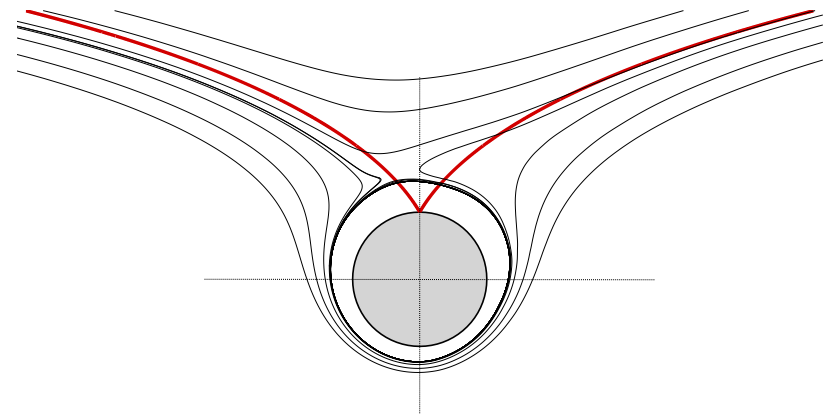
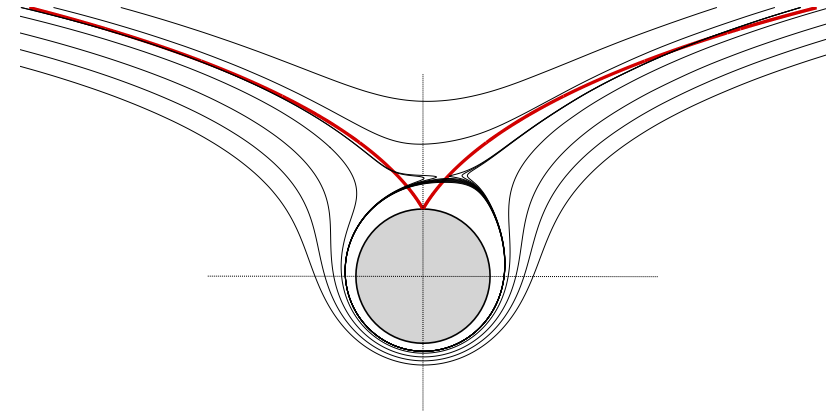
- $100^\circ \leq \theta_c \leq 160^\circ$
- $V_c = \sqrt{3}V_0$

Réduction de traînée due au déplacement du point d'arrêt.

Rotation sinusoïdale $\gamma(t) = \frac{V_T(t)}{U_\infty} = A \sin(2\pi St_f t)$: point d'arrêt reste fixe à $\theta = 0^\circ$.

[Tokumaru & Dimotakis, JFM, 1991]

But : déterminer A et St_f qui minimisent la traînée (sans considérations énergétiques)



Introduction Coefficient de traînée & écoulement de base stationnaire instable

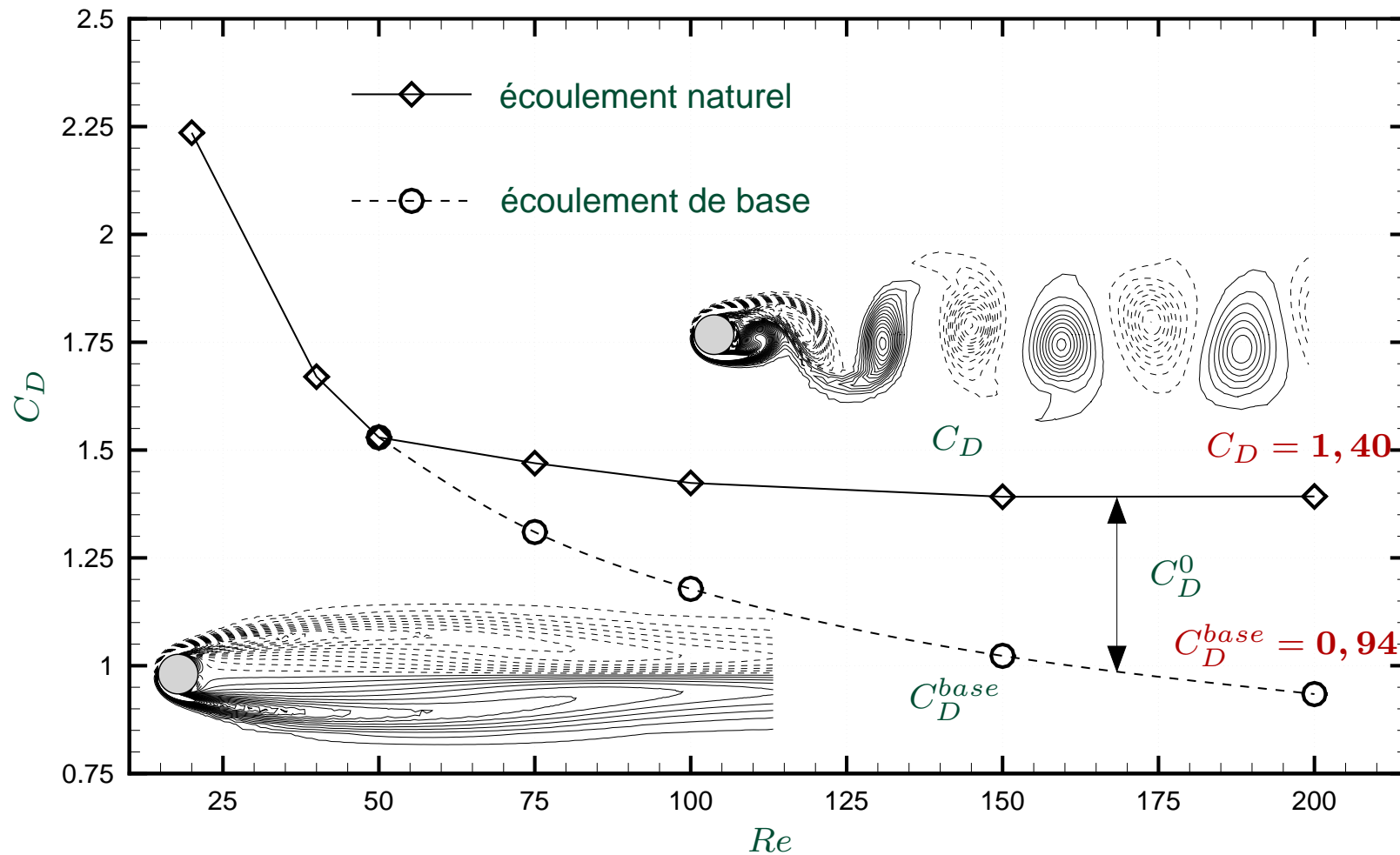


Fig. : Evolution du coefficient de traînée moyen en fonction du nombre de Reynolds. Comparaison entre l'écoulement naturel et l'écoulement de base stationnaire instable.

Protas, B. et Wesfreid, J.E. (2002) : Drag force in the open-loop control of the cylinder wake in the laminar regime. *Phys. Fluids*, **14**(2), pp. 810-826.



I - Etude paramétrique Coefficient de traînée moyen

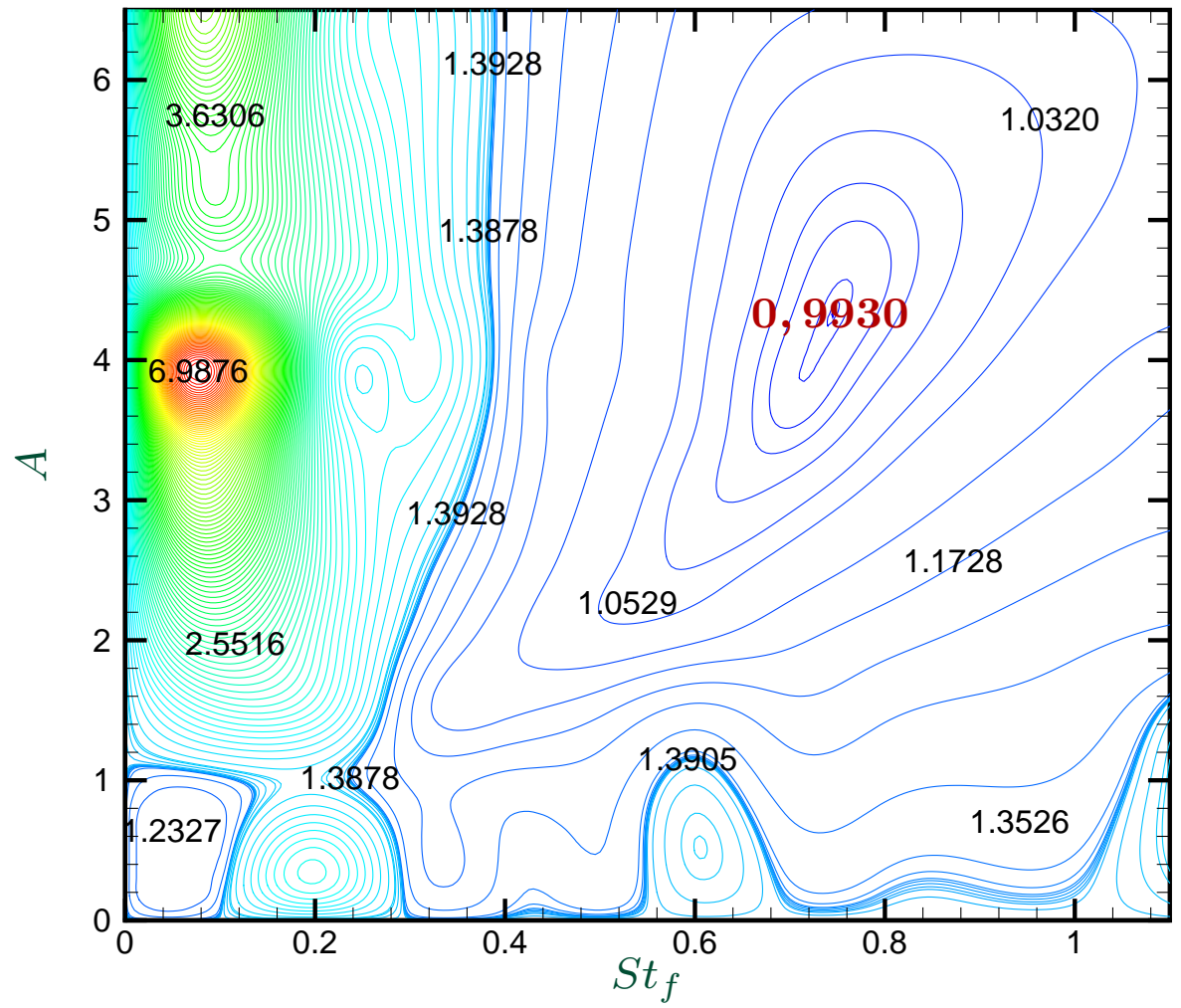


Fig. : Coefficient de traînée moyen en fonction de l'amplitude et de la fréquence de forçage.

Minimum (global ?) : $C_D = 0,9930$ pour $A = 4,25$ et $St_f = 0,74$.



I - Etude paramétrique Synchronisation des fréquences de l'écoulement

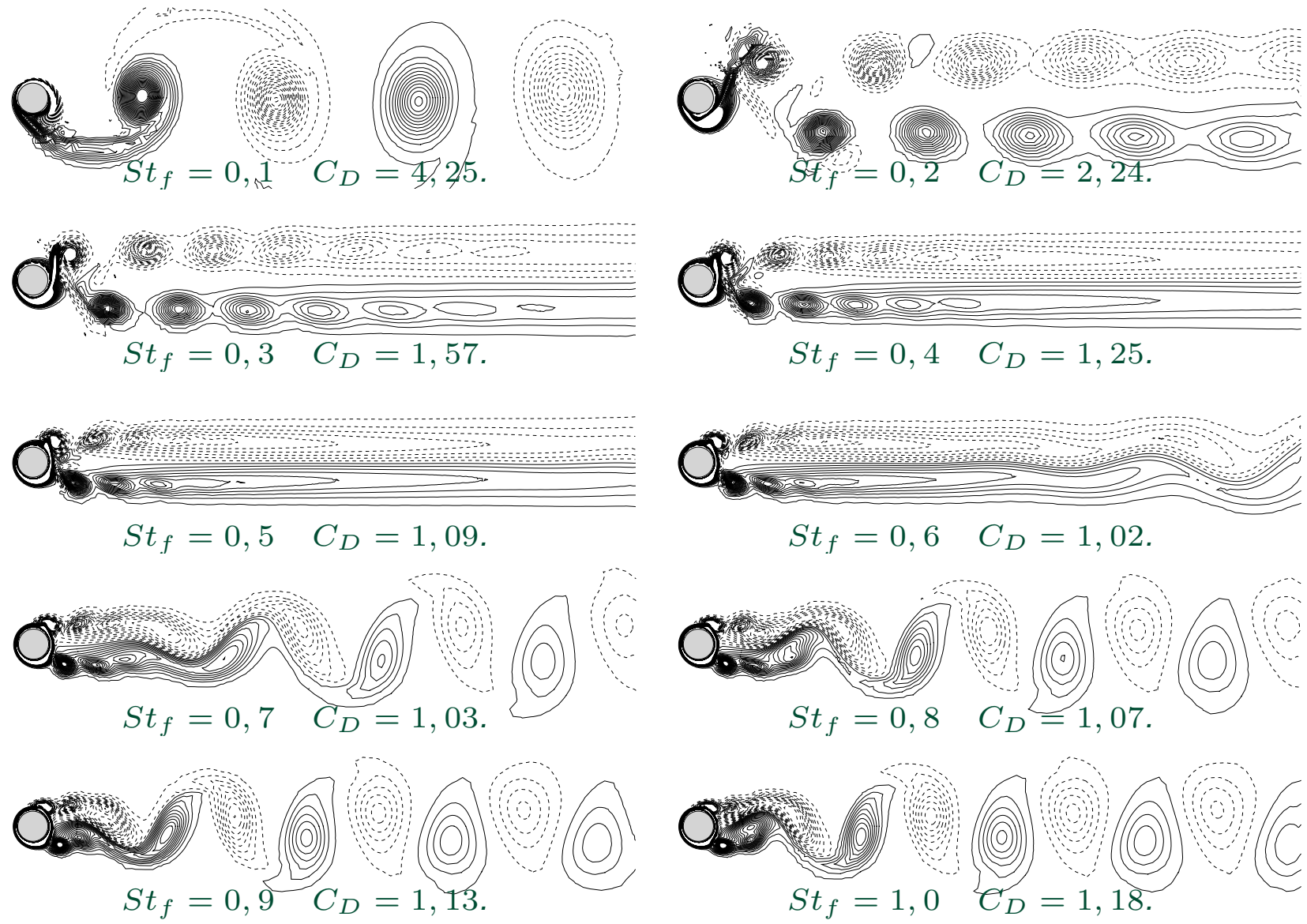


Fig. : Isovaleurs de la vorticité ω_z pour $A = 3$



I - Etude paramétrique Synchronisation des fréquences de l'écoulement

Définitions : *Lock-on* : la fréquence du lâché de tourbillons St est égale à la fréquence de forçage St_f , soit $St = St_f$
Lock-in : idem *lock-on* avec $St_f = St_n$, où St_n est la fréquence naturelle

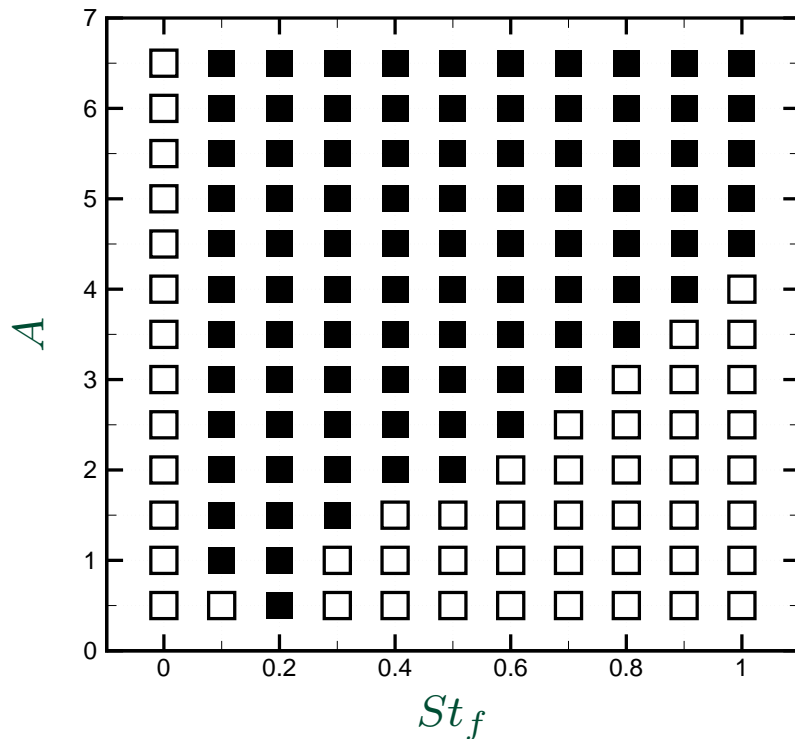


Fig. : Écoulements lock-on ■ et no lock-on □ en fonction de l'amplitude A et du nombre de Strouhal St_f de forçage.

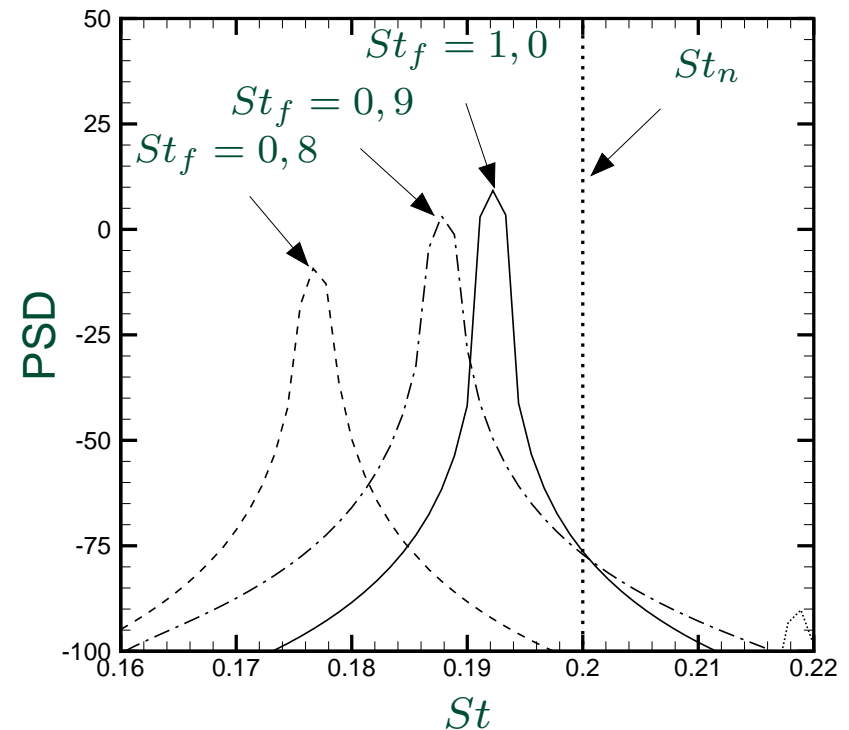


Fig. : Evolution des spectres de puissance du coefficient de portance pour $A = 3$ après la zone de lock-on.



I - Etude paramétrique Synchronisation des fréquences de l'écoulement

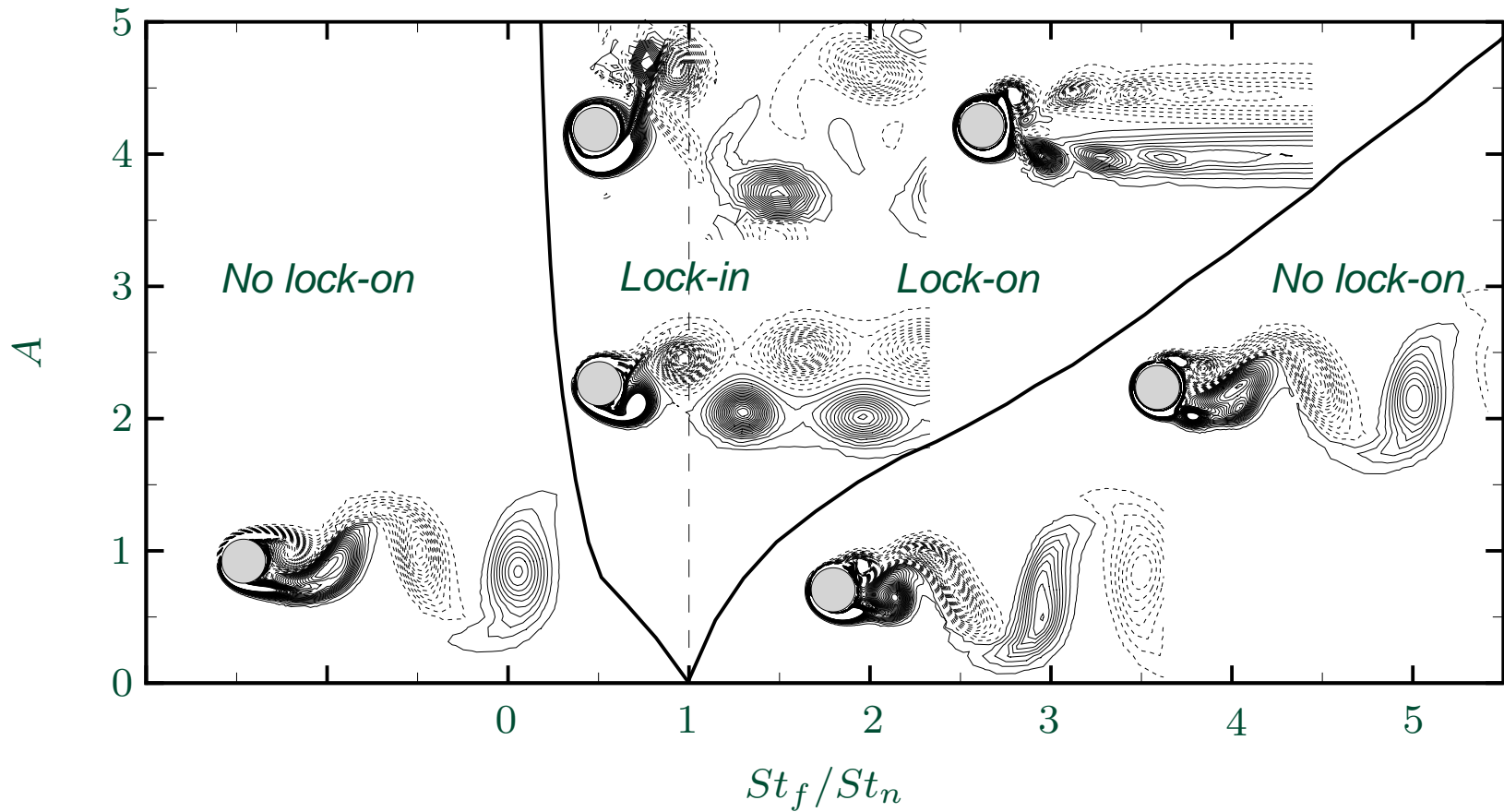


Fig. : Bande fondamentale lock-on et iso-contours de vorticité ω_z dans le sillage proche.

► Écoulements hors *lock-on* "semblables"



I - Etude paramétrique Angle maximal de rotation

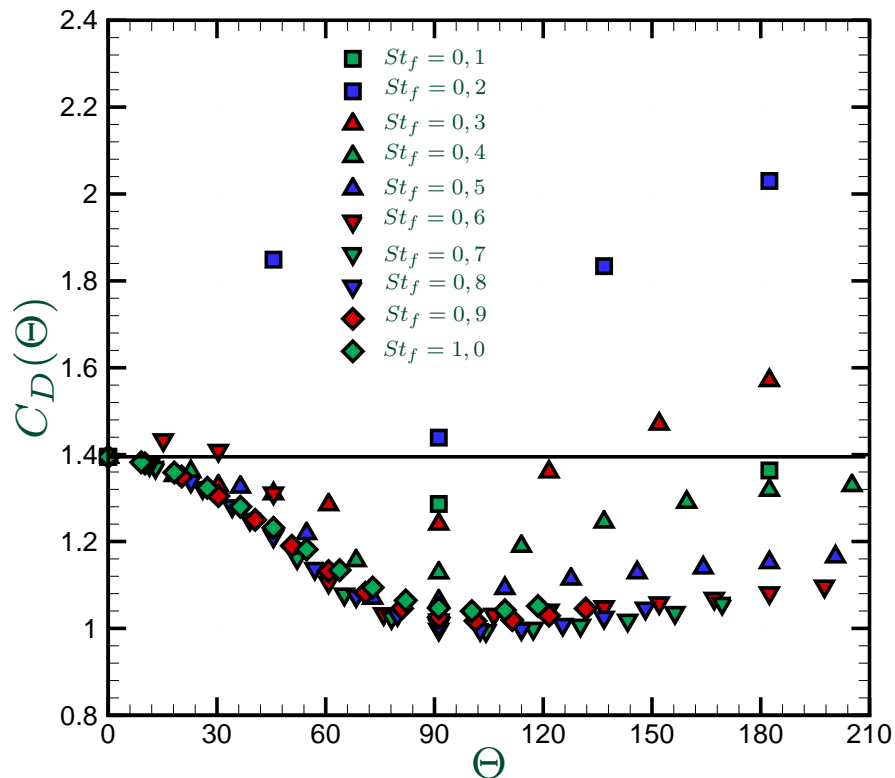


Fig. : Coefficient de traînée moyen en fonction de l'angle maximal de rotation.

Notation

► Angle maximal de rotation :

$$\Theta = \max_t \{\theta(t)\} = \frac{A}{\pi St_f}$$

Observations

► Réduction de traînée maximale

$$\Theta_{max} = 95^\circ$$

↪ Coefficient de traînée minimal

$$C_D = 0,993$$

N.B. : Sans contrôle, $C_D \simeq 1,4$

Existence d'une valeur optimale Θ_{max} pour l'angle maximal de rotation.



I - Etude paramétrique Angle maximal de rotation

Notations :
 — $C_{D_{min}}(St_f) = \min_{A \in \mathbb{R}} C_D(\Theta, St_f)$
 — $C_{D_{\Theta_{max}}}(St_f) = C_D(\Theta_{max}, St_f)$

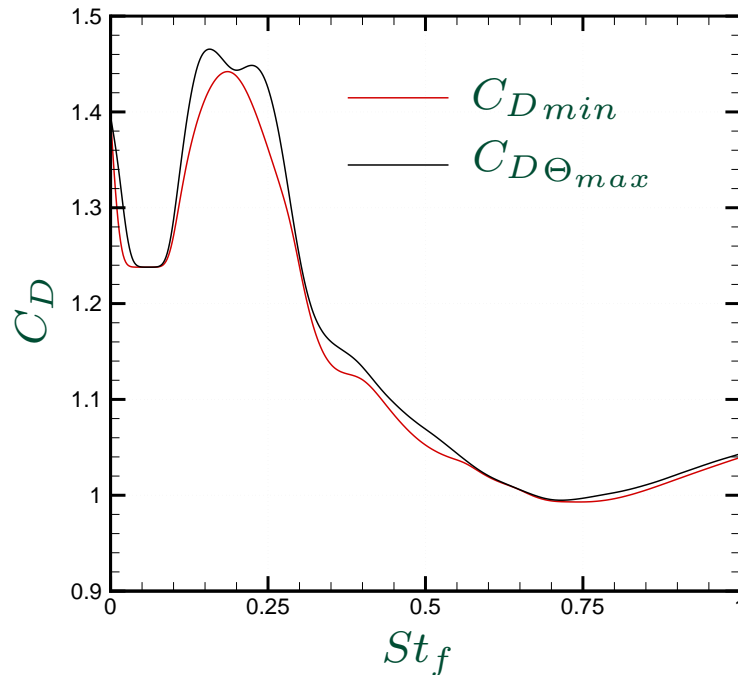


Fig. : Evolution du coefficient de traînée moyen en fonction du nombre de Strouhal.

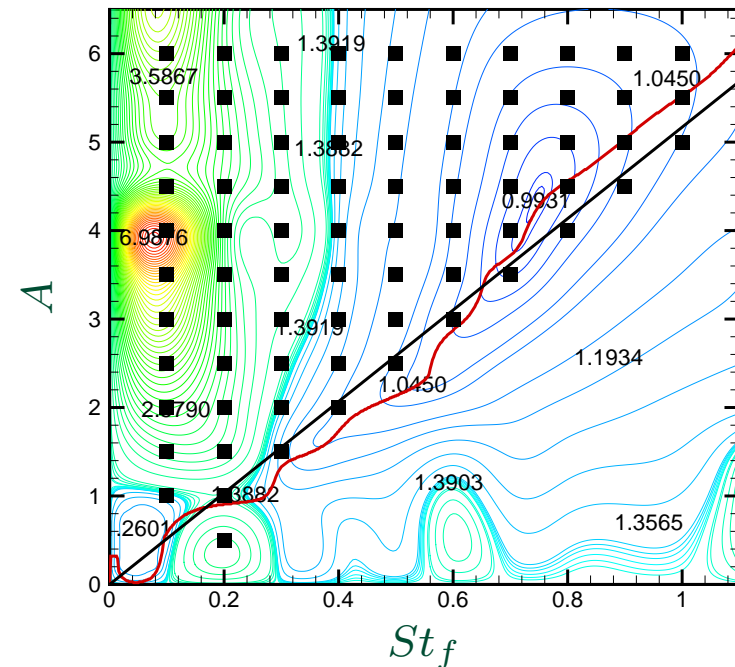


Fig. : Dépendance des paramètres optimaux dans l'espace de contrôle

► Bonne concordance entre $C_{D_{min}}$ et $C_{D_{\Theta_{max}}}$.

A et St_f "optimaux" semblent dépendants : $A/St_f = 5, 2$ ($\Theta_{max} = 95^\circ$)
 ⇒ Correspond à la limite région "lock-on".



II - Théorie du contrôle optimal *Définition*

Méthode mathématique permettant de déterminer **sans empirisme** une loi de commande à partir de l'optimisation d'une fonctionnelle coût.

- Equations d'état $\mathcal{F}(\phi, c) = 0$;
(Navier-Stokes + C.I. + C.L.)
- Variables de contrôle c ;
(Soufflage/aspiration, paramètres de forme, ...)
- Fonctionnelle objectif $\mathcal{J}(\phi, c)$.
(Traînée, portance, ...)

Déterminer les variables de contrôle c et les variables d'état ϕ telles que la fonctionnelle objectif $\mathcal{J}(\phi, c)$ soit minimale ou maximale sous les contraintes $\mathcal{F}(\phi, c) = 0$.



II - Théorie du contrôle optimal *Multiplicateurs de Lagrange*

Optimisation avec contraintes \Rightarrow optimisation sans contraintes

- ▶ Introduction de multiplicateurs de Lagrange ξ (pour chaque contrainte active).
- ▶ Fonctionnelle de Lagrange : $\mathcal{L}(\phi, c, \xi) = \mathcal{J}(\phi, c) - \langle \mathcal{F}(\phi, c), \xi \rangle$.
- ▶ Problème : rendre \mathcal{L} "stationnaire" \Rightarrow déterminer $\delta\mathcal{L} = \frac{\partial\mathcal{L}}{\partial\phi}\delta\phi + \frac{\partial\mathcal{L}}{\partial c}\delta c + \frac{\partial\mathcal{L}}{\partial\xi}\delta\xi = 0$.
- ▶ Hypothèse : ϕ, c et ξ indépendantes : $\frac{\partial\mathcal{L}}{\partial\phi}\delta\phi = \frac{\partial\mathcal{L}}{\partial c}\delta c = \frac{\partial\mathcal{L}}{\partial\xi}\delta\xi = 0$.

$$\hookrightarrow \text{Solution de } \frac{\partial\mathcal{L}}{\partial\xi}\delta\xi = 0 : \quad \text{équations d'état} \quad \mathcal{F}(\phi, c) = 0.$$

$$\hookrightarrow \text{Solution de } \frac{\partial\mathcal{L}}{\partial\phi}\delta\phi = 0 : \quad \text{équations adjointes} \quad \left(\frac{\partial\mathcal{F}}{\partial\phi}\right)^* \xi = \left(\frac{\partial\mathcal{J}}{\partial\phi}\right)^*.$$

$$\hookrightarrow \text{Solution de } \frac{\partial\mathcal{L}}{\partial c}\delta c = 0 : \quad \text{conditions d'optimalité} \quad \left(\frac{\partial\mathcal{J}}{\partial c}\right)^* = \left(\frac{\partial\mathcal{F}}{\partial c}\right)^* \xi.$$

\Rightarrow Assure un extremum local (minimum)

\Rightarrow Méthode de résolution coûteuse en temps CPU
et mémoire pour des systèmes de grandes tailles !



"without an inexpensive method for reducing the cost of flow computations, it is unlikely that the solution of optimization problems involving the three dimensional unsteady Navier-Stokes system will become routine"

M. Gunzburger, 2000



II - Réduction de modèle Décomposition Orthogonale aux valeurs Propres

► Proper Orthogonal Decomposition (POD), Lumley (1967).

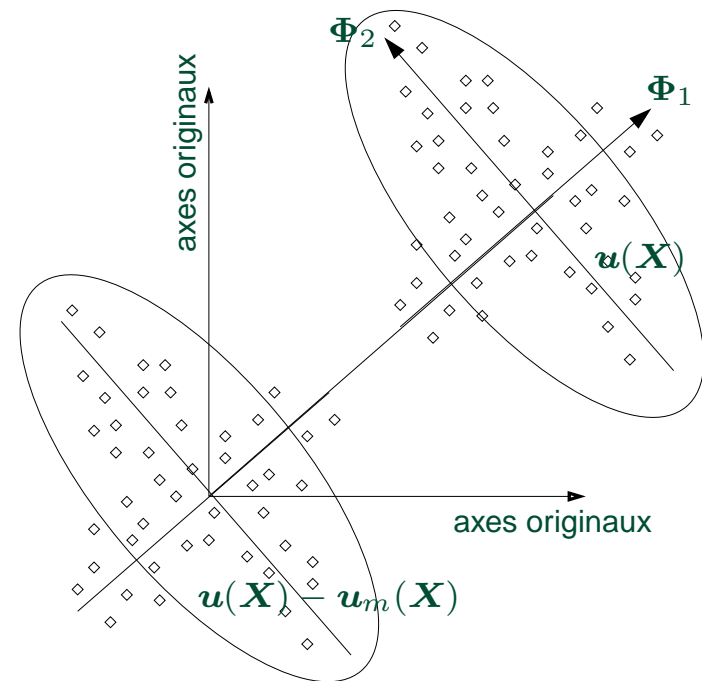
► Rechercher la réalisation $\Phi(\mathbf{X})$ "ressemblant le plus" en moyenne aux réalisations $\mathbf{u}(\mathbf{X})$.
($\mathbf{X} = (\mathbf{x}, t) \in \mathcal{D} = \Omega \times \mathbb{R}^+$)

► $\Phi(\mathbf{X})$ solution du problème :

$$\max_{\Phi} \langle |(\mathbf{u}, \Phi)|^2 \rangle, \quad \|\Phi\|^2 = 1.$$

► Convergence optimale *en norme* L^2 (énergie) de $\Phi(\mathbf{X})$

⇒ réduction de dynamique envisageable.



Lumley J.L. (1967) : The structure of inhomogeneous turbulence. *Atmospheric Turbulence and Wave Propagation*, ed. A.M. Yaglom & V.I. Tatarski, pp. 166-178.



II - Réduction de modèle *Décomposition Orthogonale aux valeurs Propres*

- Equivalence avec une équation intégrale de Fredholm :

$$\int_{\mathcal{D}} R_{ij}(\mathbf{X}, \mathbf{X}') \Phi_n^{(j)}(\mathbf{X}') d\mathbf{X}' = \lambda_n \Phi_n^{(i)}(\mathbf{X}) \quad n = 1, \dots, N_{POD}$$

↪ $R(\mathbf{X}, \mathbf{X}')$: *tenseur des corrélations spatio-temporelles.*

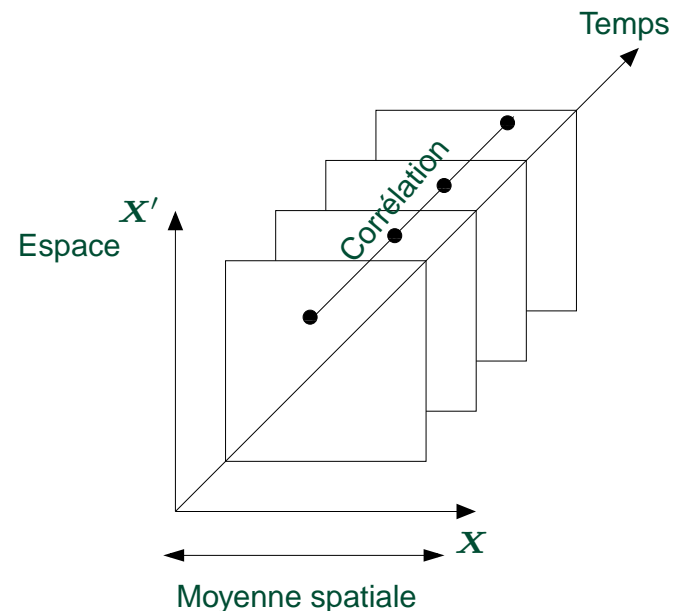
- Méthode des snapshots, Sirovich (1987) :

$$\int_T C(t, t') a_n(t') dt' = \lambda_n a_n(t)$$

↪ $C(t, t')$: *corrélations temporelles.*

- $\Phi(\mathbf{X})$ base de l'écoulement :

$$\mathbf{u}(\mathbf{x}, t) = \sum_{n=1}^{N_{POD}} a_n(t) \Phi_n(\mathbf{x}).$$



Sirovich L. (1987) : Turbulence and the dynamics of coherent structures. Part 1,2,3 *Quarterly of Applied Mathematics*, **XLV** N° 3, pp. 561–571.



II - Réduction de modèle *Réduction d'ordre de la base POD*

► Contenu énergétique relatif : $RIC(M) = \frac{\sum_{k=1}^M \lambda_k}{\sum_{k=1}^{N_{POD}} \lambda_k}$

Objectif : réaliser une troncature dans la base POD en conservant 99% de l'énergie relative

► Cas test : $A = 2$ et $St_f = 0,5 \Rightarrow N_{POD} = 361$ réalisations sur $T = 18$

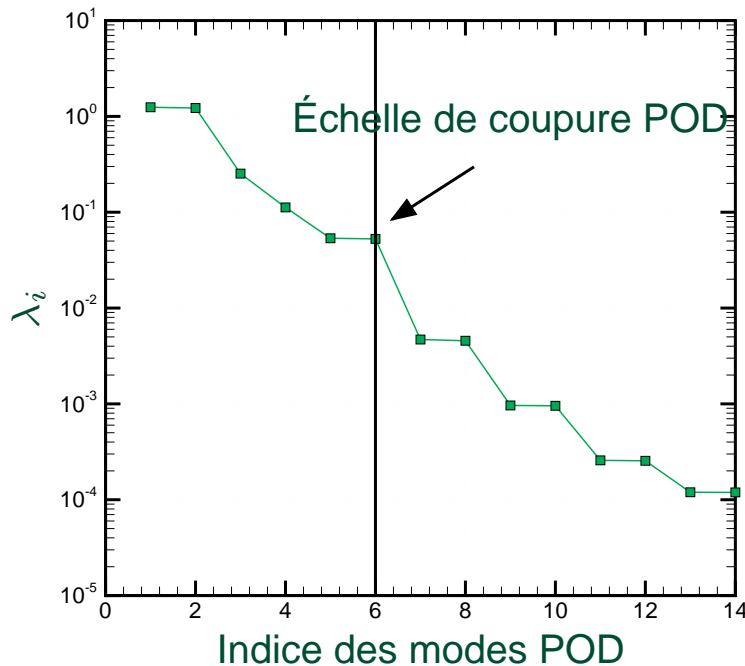


Fig. : Spectre énergétique et échelle de coupure POD.

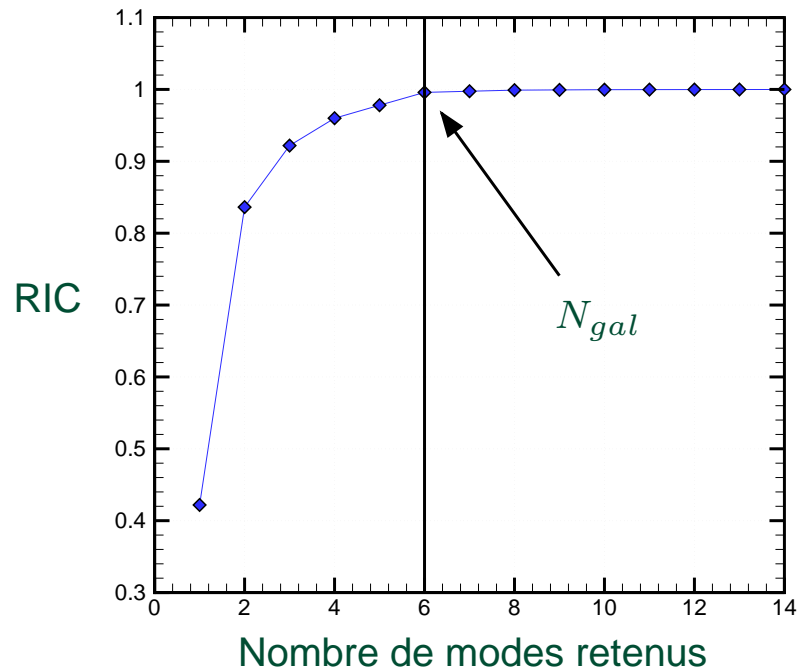


Fig. : Énergie cinétique relative en fonction du nombre M de modes POD retenus.

$$N_{gal} = \arg \min_M RIC(M) \text{ t.q. } RIC(N_{gal}) > 99\% \Rightarrow N_{gal} = 6!$$



II - Réduction de modèle Modes POD du sillage d'un cylindre

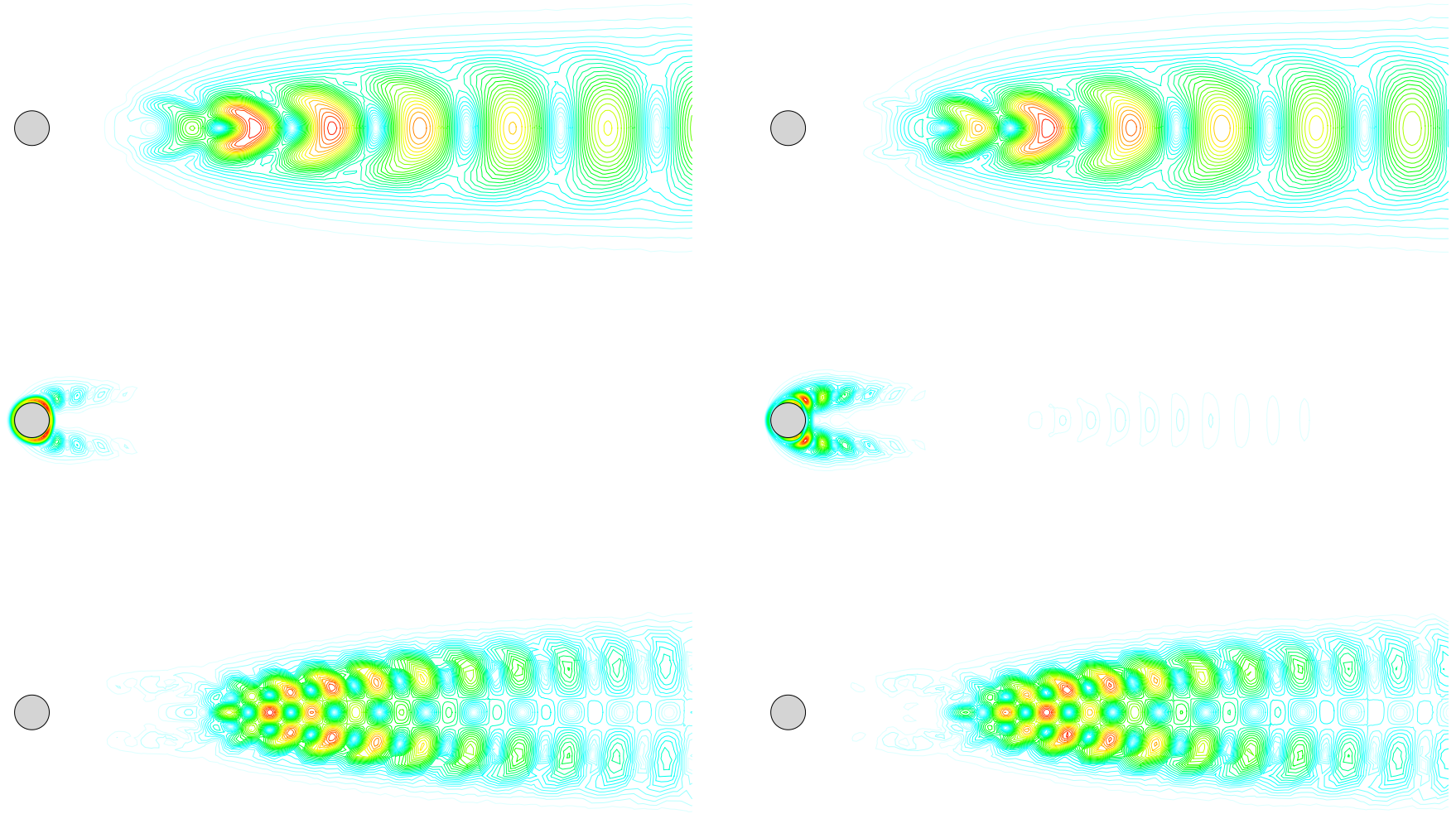


Fig. : Représentation des 6 premiers modes POD de fluctuations autour du champ moyen $\gamma(t) = A \sin(2\pi St_f t)$ avec $A = 2$ et $St_f = 0,5$.



II - Réduction de modèle *Sillage d'un cylindre*

- Projection de Galerkin des équations de Navier-Stokes sur la base POD :

$$\left(\Phi_i, \frac{\partial \mathbf{u}}{\partial t} + (\mathbf{u} \cdot \nabla) \mathbf{u} \right) = \left(\Phi_i, -\nabla p + \frac{1}{Re} \Delta \mathbf{u} \right).$$

- Intégration par parties (formule de Green) :

$$\begin{aligned} \left(\Phi_i, \frac{\partial \mathbf{u}}{\partial t} + (\mathbf{u} \cdot \nabla) \mathbf{u} \right) &= (p, \nabla \cdot \Phi_i) - \frac{1}{Re} \left((\nabla \otimes \Phi_i)^T, \nabla \otimes \mathbf{u} \right) \\ &\quad - [p \Phi_i] + \frac{1}{Re} [(\nabla \otimes \mathbf{u}) \Phi_i]. \end{aligned}$$

avec $[a] = \int_{\Gamma} \mathbf{a} \cdot \mathbf{n} \, d\mathbf{x}$ et $(\overline{\overline{A}}, \overline{\overline{B}}) = \int_{\Omega} \overline{\overline{A}} : \overline{\overline{B}} \, d\Omega = \sum_{i,j} \int_{\Omega} A_{ij} B_{ji} \, d\mathbf{x}$.

- Termes de pression "indésirables" : \Rightarrow élimination



II - Réduction de modèle *Système dynamique du sillage contrôlé d'un cylindre*

- Décomposition du champ de vitesse sur N_{POD} modes :

$$\mathbf{u}(\mathbf{x}, t) = \mathbf{u}_m(\mathbf{x}) + \gamma(t) \mathbf{u}_c(\mathbf{x}) + \sum_{k=1}^{N_{POD}} a_k(t) \Phi_k(\mathbf{x}).$$

- Système dynamique réduit avec N_{gal} ($\ll N_{POD}$) modes retenus :

$$\left\{ \begin{array}{l} \frac{d a_i(t)}{d t} = \mathcal{A}_i + \sum_{j=1}^{N_{gal}} \mathcal{B}_{ij} a_j(t) + \sum_{j=1}^{N_{gal}} \sum_{k=1}^{N_{gal}} \mathcal{C}_{ijk} a_j(t) a_k(t) \\ \quad + \mathcal{D}_i \frac{d \gamma}{d t} + \left(\mathcal{E}_i + \sum_{j=1}^{N_{gal}} \mathcal{F}_{ij} a_j(t) \right) \gamma + \mathcal{G}_i \gamma^2 \\ a_i(0) = (\mathbf{u}(\mathbf{x}, 0), \Phi_i(\mathbf{x})). \end{array} \right.$$

$\mathcal{A}_i, \mathcal{B}_{ij}, \mathcal{C}_{ijk}, \mathcal{D}_i, \mathcal{E}_i, \mathcal{F}_{ij}$ et \mathcal{G}_i dépendent uniquement de $\Phi, \mathbf{u}_m, \mathbf{u}_c$ et Re .



II - Réduction de modèle *Intégration et stabilisation du modèle réduit*

Cas test : $\gamma = A \sin(2\pi St_f t)$, $A = 2$ et $St_f = 0,5$.

Erreurs de reconstruction POD ROM \Rightarrow amplification temporelle des modes

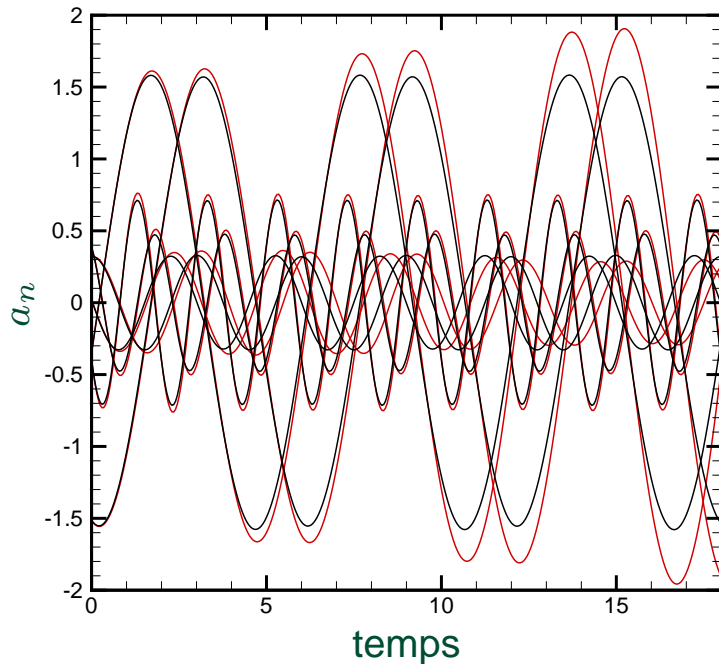


Fig. : *Evolution temporelle des 6 premiers modes POD.*

► Causes :

- Extraction des grosses et moyennes structures porteuses d'énergie
- Essentiel de dissipation dans les petites structures

► Solution :

- Ajout de viscosités artificielles optimales sur chaque mode POD

— projection (Navier-Stokes) : $a_{\tau n}(t)$
— prédiction avant stabilisation (POD ROM)



II - Réduction de modèle *Intégration et stabilisation du modèle réduit*

Cas test : $\gamma = A \sin(2\pi St_f t)$, $A = 2$ et $St_f = 0,5$.

Erreurs de reconstruction POD ROM \Rightarrow amplification temporelle des modes

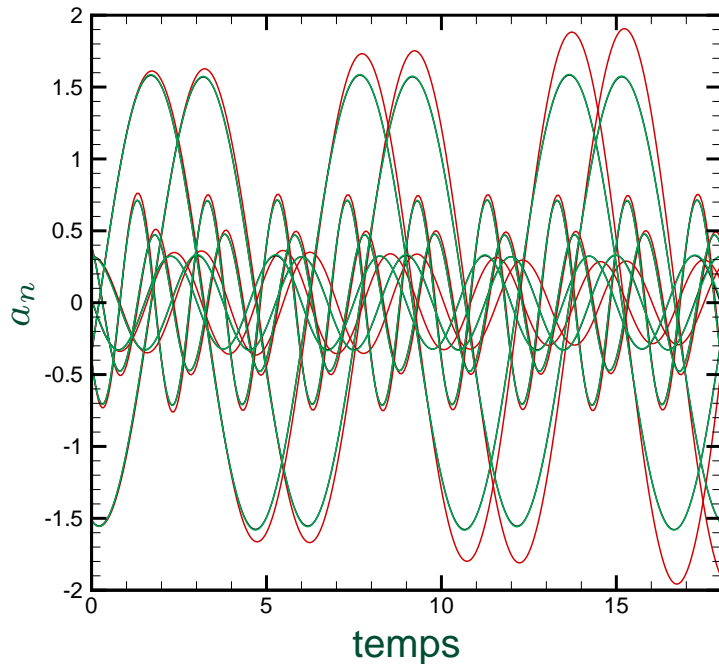


Fig. : *Evolution temporelle des 6 premiers modes POD.*

► Causes :

- Extraction des grosses et moyennes structures porteuses d'énergie
- Essentiel de dissipation dans les petites structures

► Solution :

- Ajout de viscosités artificielles optimales sur chaque mode POD

- projection (Navier-Stokes) : $a_{\tau n}(t)$
- prédiction avant stabilisation (POD ROM)
- prédiction après stabilisation (POD ROM).



II - Réduction de modèle *Stabilisation du modèle réduit - Energie*

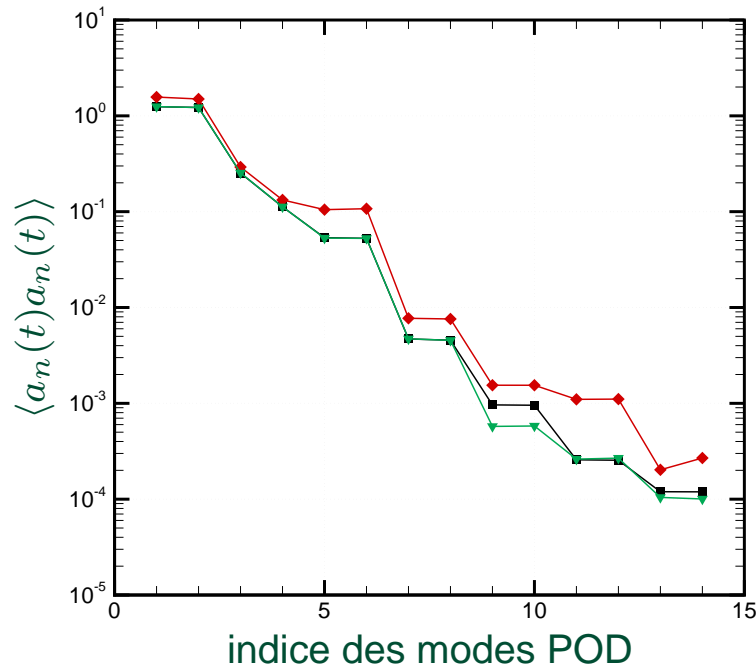


Fig. : Comparaison du contenu énergétique de chaque mode POD estimé respectivement par DNS et par POD ROM.

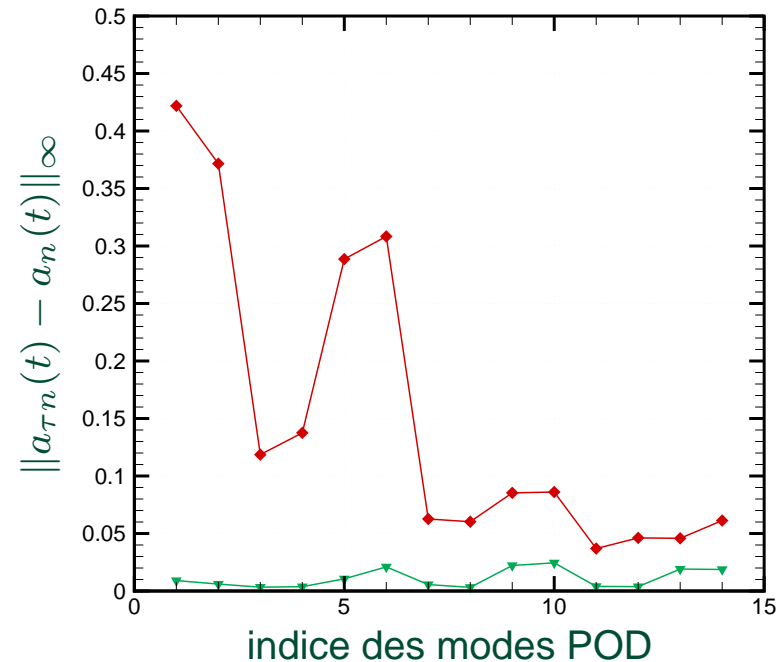


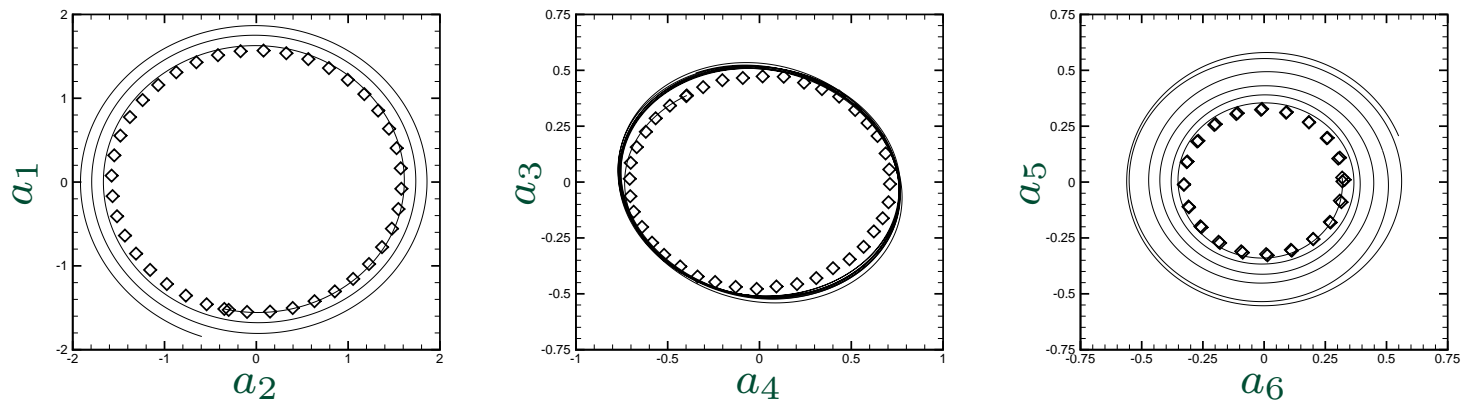
Fig. : Erreur en norme infinie du contenu énergétique de chaque mode POD avant et après stabilisation.

- ▶ Bonne concordance entre spectres POD ROM et DNS
- ▶ Réduction de l'erreur de reconstruction entre les modes prédits (POD ROM) et projetés (DNS)

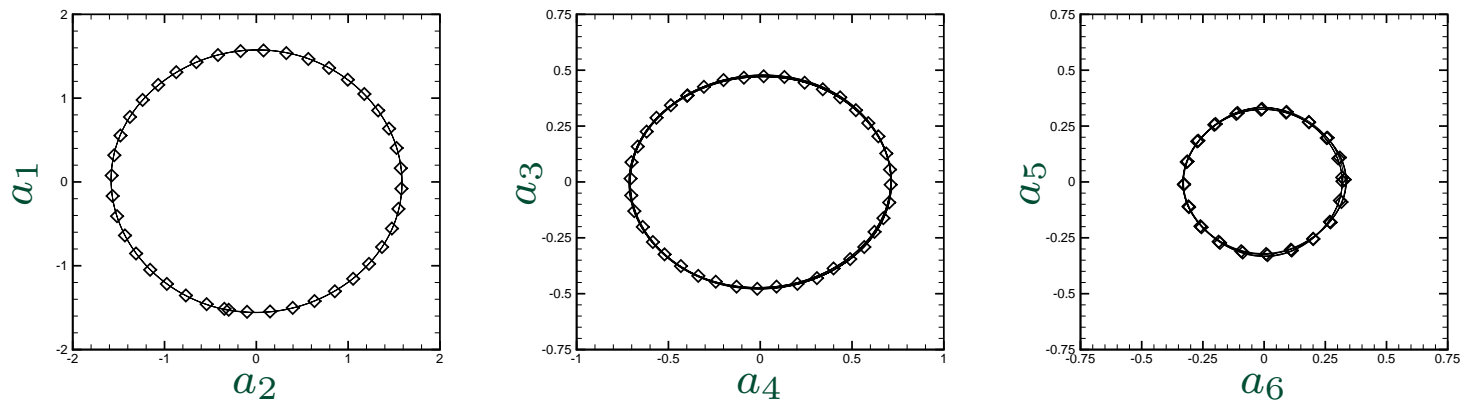
⇒ Validation du modèle réduit POD



II - Réduction de modèle *Stabilisation du modèle réduit - Dynamique*



Sans ajout de viscosités artificielles.



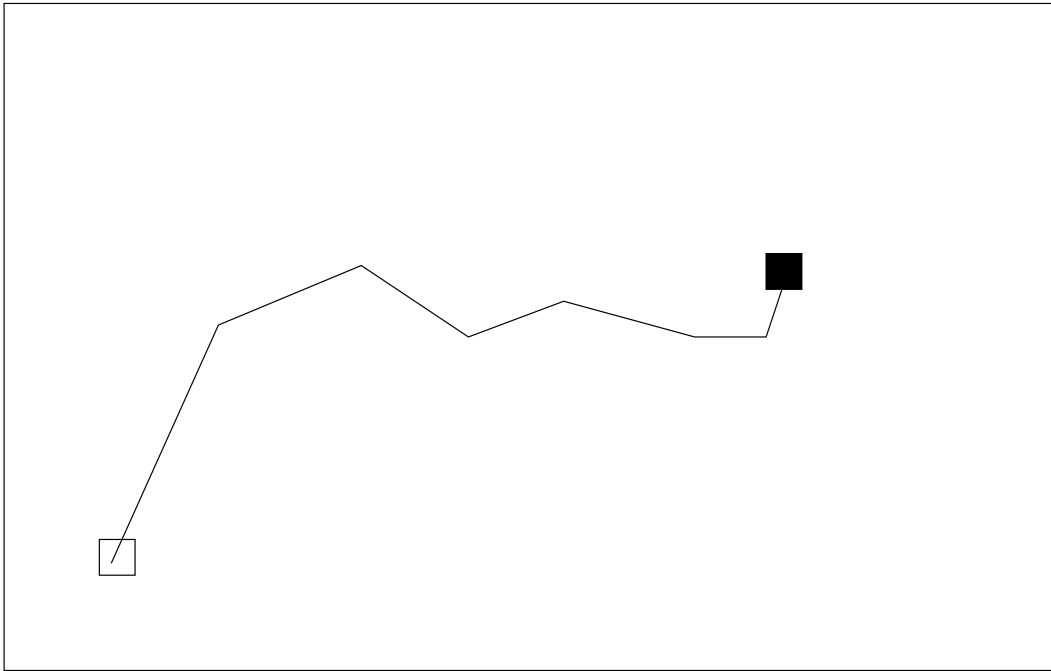
Avec ajout de viscosités artificielles.

Fig. : *Portraits de phase des 6 premiers coefficients temporels a_n sur 18 unités de temps.*
◇ modes DNS ; — modes POD.

Le modèle réduit POD représente correctement *une unique dynamique*



II - Réduction de modèle *Choix des réalisations en optimisation*

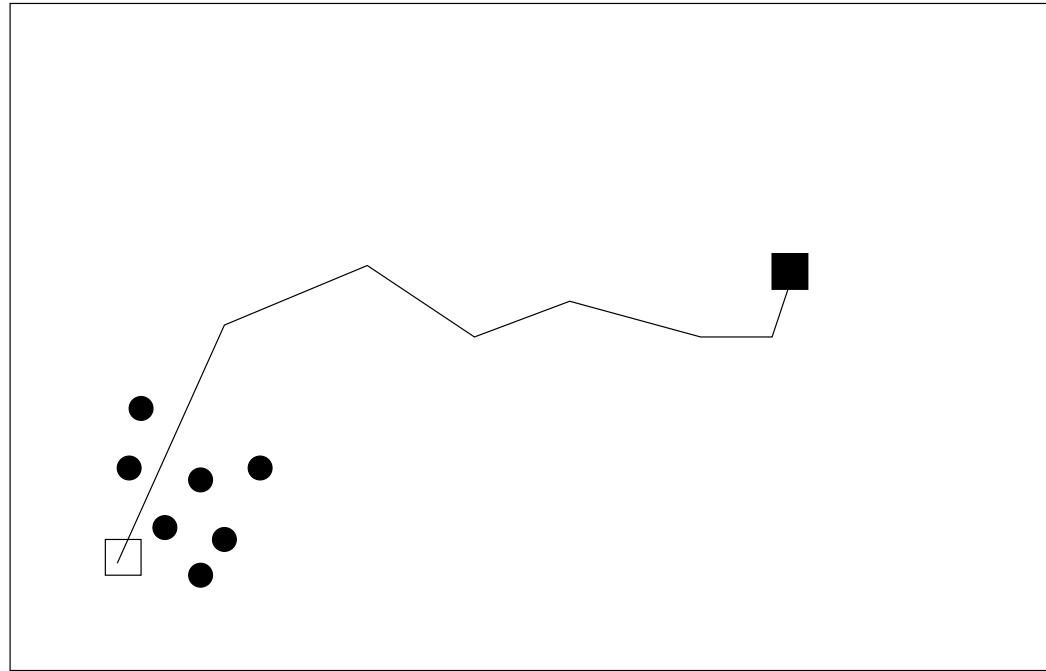


Configuration générale.

Fig. : *Problème d'optimisation posé dans l'espace des paramètres de contrôle.*
— *chemin d'optimisation, conditions initiale \square et terminale \blacksquare du processus d'optimisation.*



II - Réduction de modèle *Choix des réalisations en optimisation*

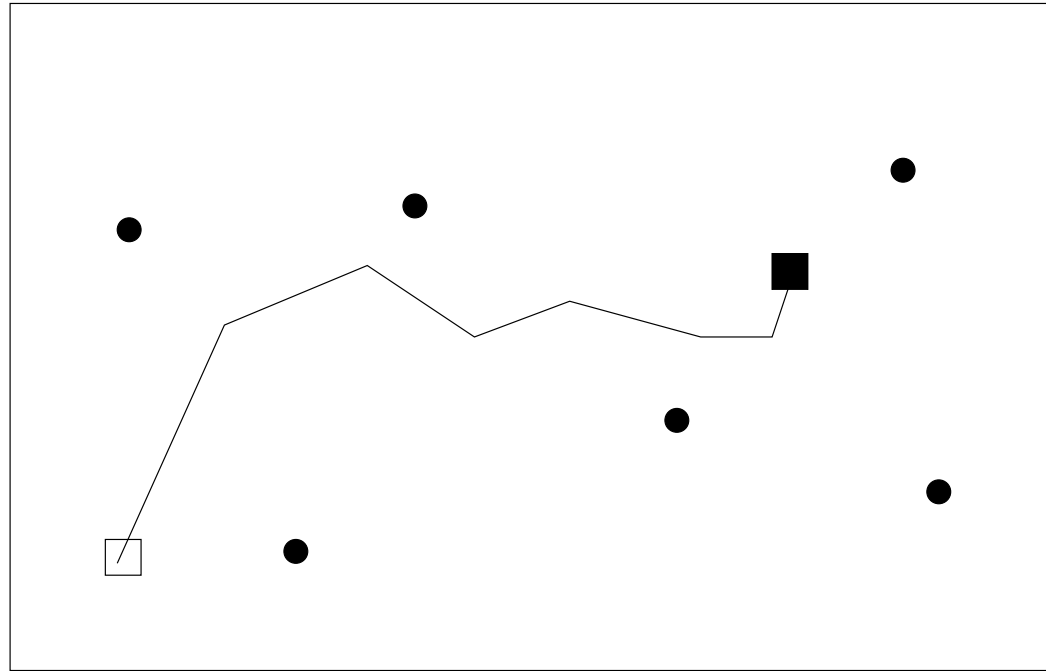


Echantillonnage inadapté.

Fig. : *Problème d'optimisation posé dans l'espace des paramètres de contrôle.*
— *chemin d'optimisation, conditions initiale □ et terminale ■ du processus d'optimisation,*
● *réalisation utilisée pour la base de données.*



II - Réduction de modèle *Choix des réalisations en optimisation*

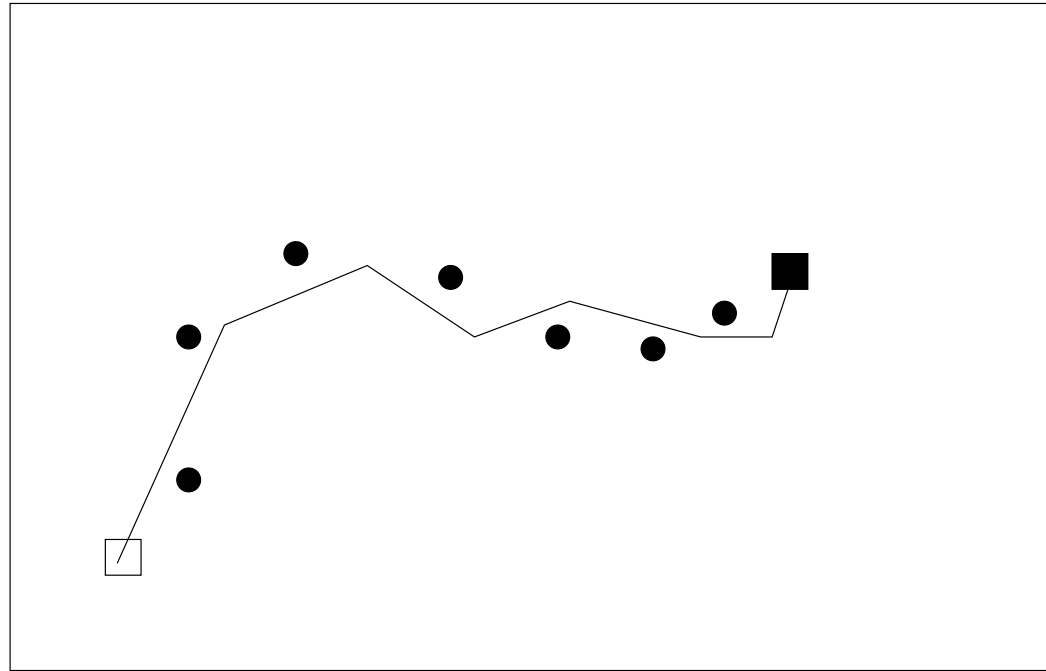


Echantillonnage inadapté.

Fig. : *Problème d'optimisation posé dans l'espace des paramètres de contrôle.*
— *chemin d'optimisation, conditions initiale \square et terminale \blacksquare du processus d'optimisation,*
● *réalisation utilisée pour la base de données.*



II - Réduction de modèle *Choix des réalisations en optimisation*

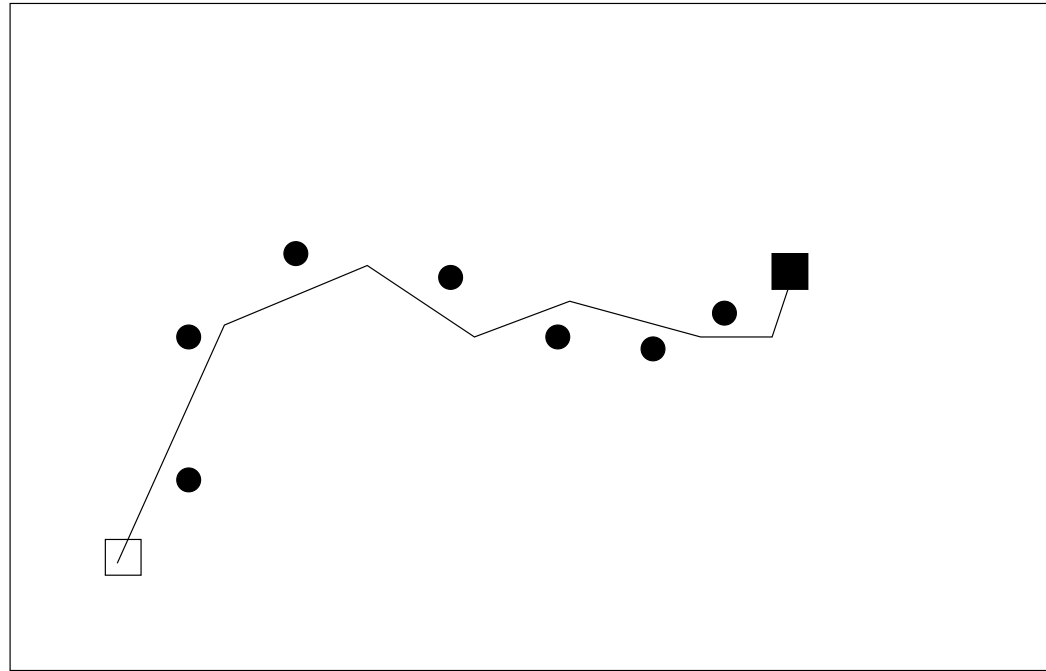


Echantillonnage idéal.

Fig. : *Problème d'optimisation posé dans l'espace des paramètres de contrôle.*
— *chemin d'optimisation, conditions initiale \square et terminale \blacksquare du processus d'optimisation,*
● *réalisation utilisée pour la base de données.*



II - Réduction de modèle *Choix des réalisations en optimisation*



Echantillonnage idéal.

Fig. : *Problème d'optimisation posé dans l'espace des paramètres de contrôle.*
— *chemin d'optimisation, conditions initiale \square et terminale \blacksquare du processus d'optimisation,*
● *réalisation utilisée pour la base de données.*

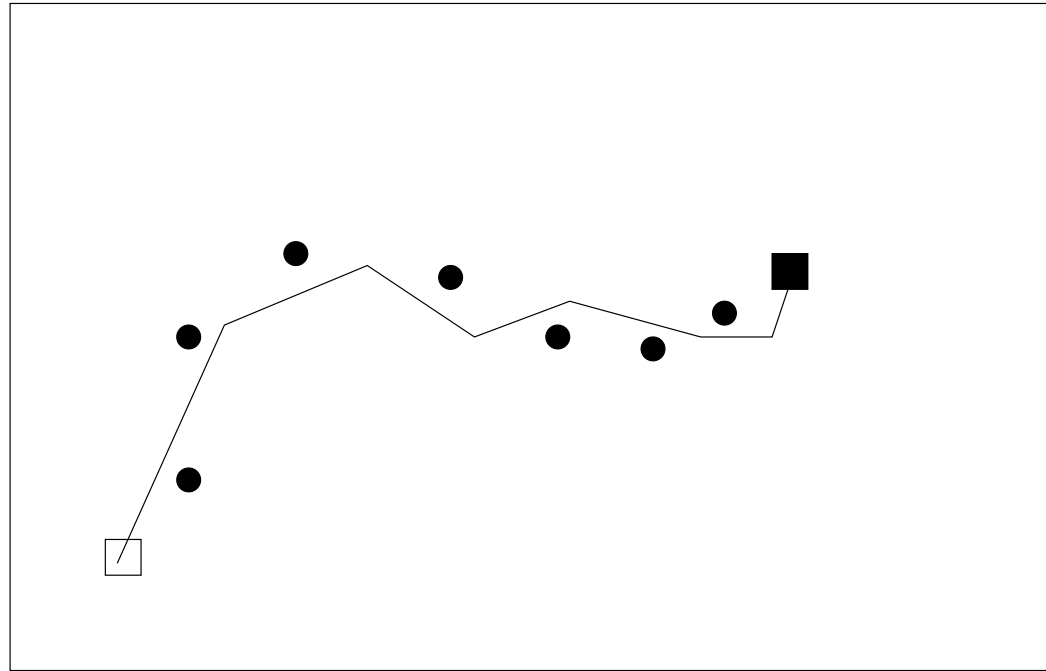
- La base représente toutes les dynamiques le long du chemin d'optimisation

Optimisation sans réactualisation de la base POD

[Bergmann *et al.*, Phys. Fluids, 17 (9), 2005]



II - Réduction de modèle *Choix des réalisations en optimisation*



Echantillonnage idéal.

Fig. : *Problème d'optimisation posé dans l'espace des paramètres de contrôle.*
— *chemin d'optimisation, conditions initiale □ et terminale ■ du processus d'optimisation,*
● *réalisation utilisée pour la base de données.*

- La base représente toutes les dynamiques le long du chemin d'optimisation

Optimisation sans réactualisation de la base POD

[Bergmann *et al.*, Phys. Fluids, 17 (9), 2005]

- La base ne représente qu'une dynamique contrôlée particulière

III - Optimisation avec réactualisation de la base POD



III - Base POD réactualisée Modes de non-équilibre

► Nécessité de directions non prises en compte dans la base POD initiale $\{\Phi_i\}_{i=1,\dots,N_{gal}}$

► Construction de N_{neq} modes particuliers

● Vecteur translation entre le champ moyen I et le champ moyen II :

$$\Phi_0^{I \rightarrow II} = \Phi_0^{II} - \Phi_0^I.$$

● Ajout à la base existante (Gram-Schmidt)

$$\Phi_{N_{gal}+1}^I \equiv \tilde{\Phi}_0^{I \rightarrow II}.$$

● Idem pour $\Phi_0^{I \rightarrow III}$, etc...

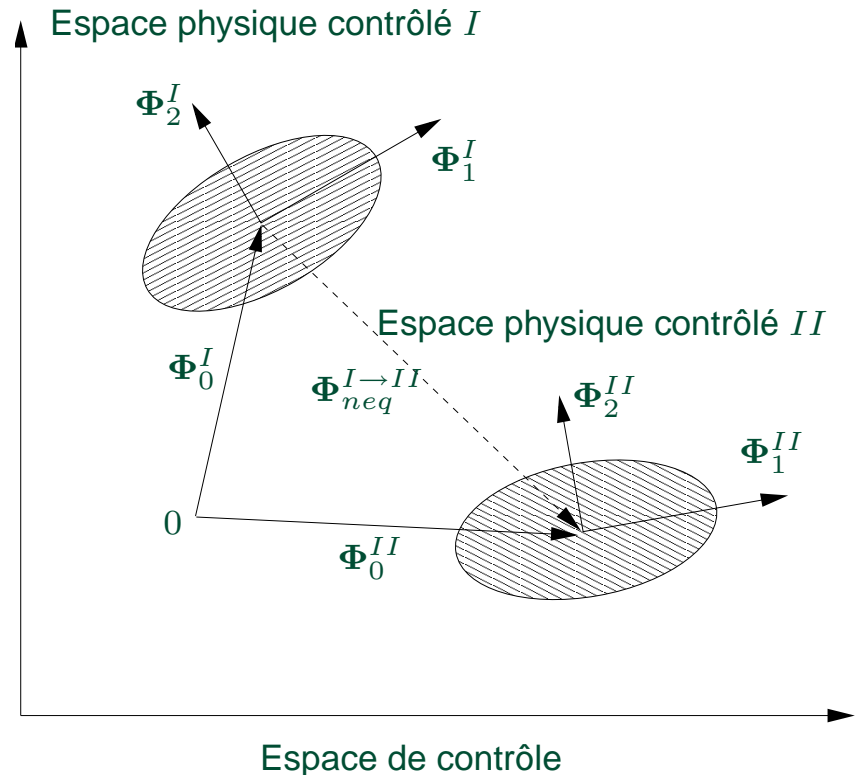


Fig. : Représentation schématique d'une transition de dynamique par utilisation d'un mode moyen de non-équilibre.

Noack, B.R., Afanasiev, K., Morzyński, M., Tadmor, G. et Thiele, F. (2003) : A hierarchy of low-dimensional models for the transient and post-transient cylinder wake. *J. Fluid Mech.*, **497** pp. 335–363.



III - Base POD réactualisée *Système dynamique d'ordre réduit*

► Décomposition de la vitesse sur $N_{gal} + N_{neq} + 1$ modes :

$$\tilde{\mathbf{u}}(\mathbf{x}, t) = \underbrace{a_0(t) \Phi_0(\mathbf{x})}_{\text{champ moyen}} + \gamma(\mathbf{c}, t) \mathbf{u}_c(\mathbf{x}) + \underbrace{\sum_{i=1}^{N_{gal}} a_i(t) \Phi_i(\mathbf{x})}_{\text{modes POD Galerkin}} + \underbrace{\sum_{i=N_{gal}+1}^{N_{gal}+N_{neq}} a_i(t) \Phi_i(\mathbf{x})}_{\text{modes de non-équilibre}}.$$

► Système dynamique avec $N_{gal} + N_{neq} + 1$ modes retenus (équations d'état) :

$$\left\{ \begin{array}{l} \frac{da_i(t)}{dt} = \sum_{j=0}^{N_{gal}+N_{neq}} \mathcal{B}_{ij} a_j(t) + \sum_{j=0}^{N_{gal}+N_{neq}} \sum_{k=0}^{N_{gal}+N_{neq}} \mathcal{C}_{ijk} a_j(t) a_k(t) \\ \quad + \mathcal{D}_i \frac{d\gamma(\mathbf{c}, t)}{dt} + \left(\mathcal{E}_i + \sum_{j=0}^{N_{gal}+N_{neq}} \mathcal{F}_{ij} a_j(t) \right) \gamma(\mathbf{c}, t) + \mathcal{G}_i \gamma^2(\mathbf{c}, t). \\ a_i(0) = (\mathbf{u}(\mathbf{x}, 0), \Phi_i(\mathbf{x})). \end{array} \right.$$

$\mathcal{B}_{ij}, \mathcal{C}_{ijk}, \mathcal{D}_i, \mathcal{E}_i, \mathcal{F}_{ij}$ et \mathcal{G}_i dépendent de Φ , \mathbf{u}_c et Re .



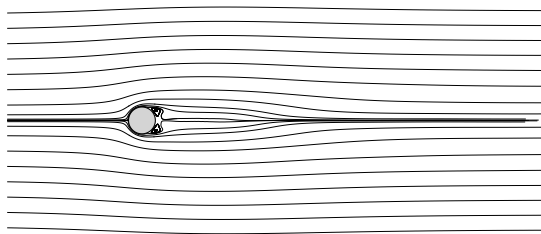
III - Base POD réactualisée *Aspects physiques et dynamiques des modes POD*

Aspects physiques	Modes	Aspects dynamiques
fonction de contrôle	\mathbf{u}_c	dynamique pré-déterminée
mode écoulement moyen	$\mathbf{u}_m, i = 0$	$a_0 = Cste$
modes POD Galerkin correspondent à la physique de l'écoulement	$i = 1$	Système dynamique modes déterminés par intégration du système dynamique (le mode $i = 0$ peut également être résolu et $a_0 \equiv a_0(t)$)
	$i = 2$	
	...	
	$i = N_{gal}$	
modes de non-équilibre correspondent à des directions privilégiées	$i = N_{gal} + 1$	
	...	
	$i = N_{gal} + N_{neq}$	

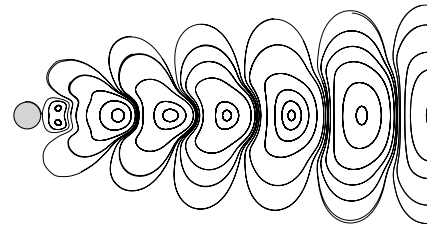
Tab. : *Descriptif des aspects physiques et dynamiques des modes présents dans la décomposition sur la base POD, augmentée des modes de non-équilibre.*



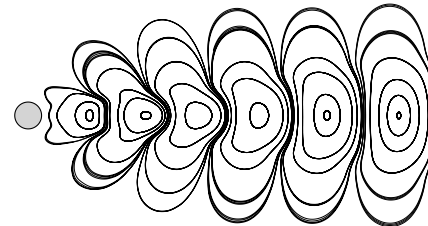
III - Base POD réactualisée Modes POD Galerkin et modes de non-équilibre



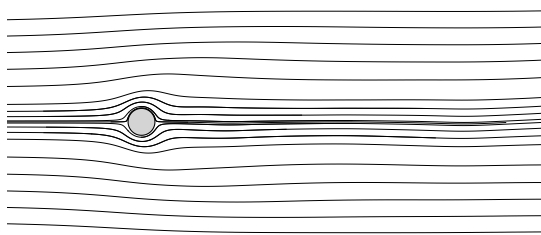
Éclt. contrôlé (I) moyen



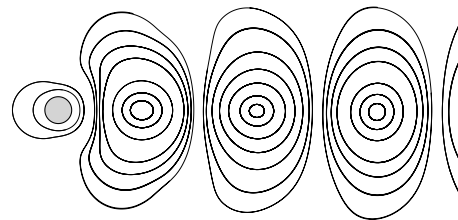
1er mode POD de I



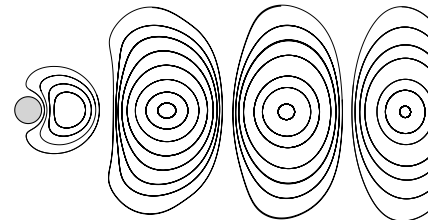
2nd mode POD de I



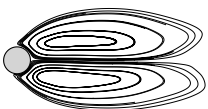
Éclt. contrôlé (II) moyen



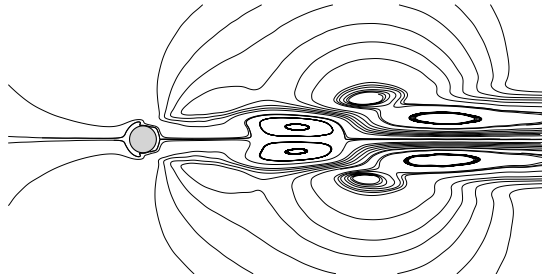
1er mode POD de II



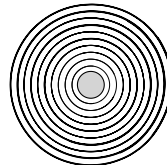
2nd mode POD de II



Mode shift de I vers II



Mode shift de I vers base



Fonction de contrôle

Fig. : Représentation de modes Galerkin, de la fonction de contrôle u_c , et de modes de non-équilibre présents dans la base POD



► Opérateur de traînée

$$\mathcal{C}_D : \mathbb{R}^3 \mapsto \mathbb{R}$$

$$\mathbf{u} \mapsto 2 \int_{\Gamma_c} \left(u_3 n_x - \frac{1}{Re} \frac{\partial u_1}{\partial x} n_x - \frac{1}{Re} \frac{\partial u_1}{\partial y} n_y \right) d\Gamma.$$

► En variables réduites,

↔ Coefficient de traînée réel Navier-Stokes $C_D = \mathcal{C}_D(\mathbf{U})$ avec $\mathbf{U} = (u, v, p)^T$

↔ Coefficient de traînée modélisé par POD $\tilde{C}_D = \mathcal{C}_D(\tilde{\mathbf{U}})$ avec $\tilde{\mathbf{U}} = (\tilde{u}, \tilde{v}, \tilde{p})^T$

► Problème : \tilde{p} n'est pas connu

↔ La base POD est étendue au champ de pression : $\Phi = (\Phi, \Phi^p)^T$

$$\Rightarrow \text{Corrélations avec pression } C(t, t') = \frac{1}{T} \int_{\Omega} U_i(\mathbf{x}, t) U_i(\mathbf{x}, t') d\mathbf{x}$$



► Décomposition

$$\tilde{\mathbf{U}}(\mathbf{x}, t) = \gamma(\mathbf{c}, t) \mathbf{U}_c(\mathbf{x}) + \underbrace{\sum_{i=0}^{N_{gal}} a_i(t) \Phi_i(\mathbf{x})}_{\text{modes POD Galerkin}} + \underbrace{\sum_{i=N_{gal}+1}^{N_{gal}+N_{neq}} a_i(t) \Phi_i(\mathbf{x})}_{\text{modes de non-équilibre}}.$$

► Evolution du coefficient de traînée modélisé par POD

$$\tilde{C}_D(\mathbf{a}) = \sum_{i=0}^{N_{gal}} a_i(t) N_i + \sum_{i=N_{gal}+1}^{N_{gal}+N_{neq}} a_i(t) N_i \quad \text{avec} \quad N_i = C_D(\Phi_i).$$

► Fonction objectif modélisée par POD (coefficient de traînée moyen)

$$\tilde{\mathcal{J}}(\mathbf{a}) = \frac{1}{T} \int_0^T \sum_{i=0}^{N_{gal}+N_{neq}} a_i(t) N_i dt.$$



► Système dynamique adjoint :

$$\left\{ \begin{array}{l} \frac{d\xi_i(t)}{dt} = - \sum_{j=0}^{N_{gal}+N_{neq}} \left(\mathcal{B}_{ji} + \gamma(\mathbf{c}, t) \mathcal{F}_{ji} + \sum_{k=0}^{N_{gal}+N_{neq}} (\mathcal{C}_{jik} + \mathcal{C}_{jki}) a_k(t) \right) \xi_j(t) - \frac{1}{T} N_i, \\ \xi_i(T) = 0. \end{array} \right.$$

► Conditions d'optimalité

$$\nabla_{\mathbf{c}} \mathcal{L} = \int_0^T \left(\sum_{i=0}^{N_{gal}+N_{neq}} \mathcal{L}_i \right) \nabla_{\mathbf{c}} \gamma dt.$$

$$\text{avec } \mathcal{L}_i = -\frac{d\xi_i}{dt} \mathcal{D}_i + \xi_i \left(\mathcal{E}_i + \sum_{j=0}^{N_{gal}+N_{neq}} \mathcal{F}_{ij} a_j + 2\gamma(\mathbf{c}, t) \mathcal{G}_i \right)$$



III - Base POD réactualisée Formulation contrôle optimal POD ROM

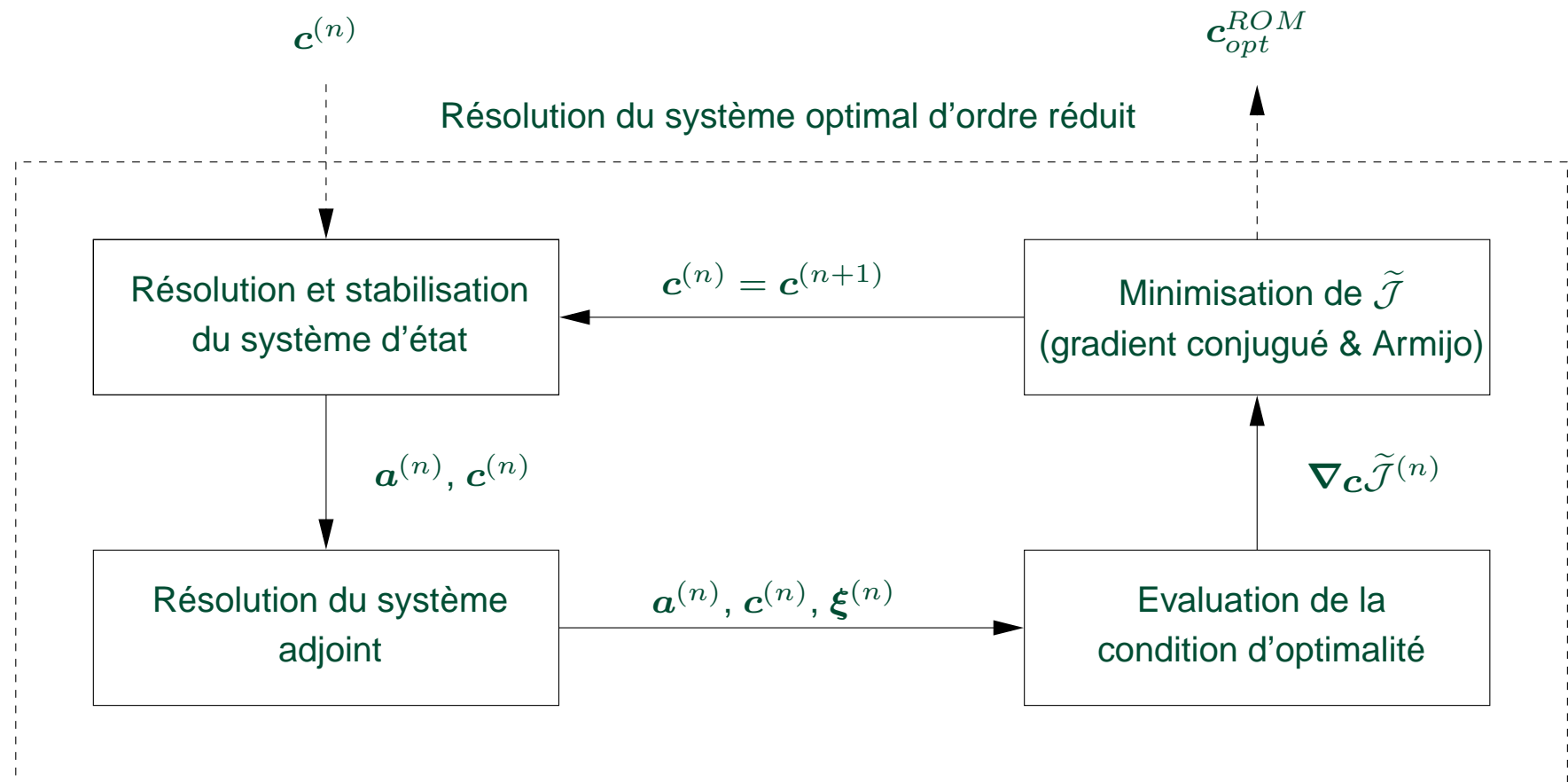


Fig. : Représentation schématique du processus de résolution du système optimal d'ordre réduit.

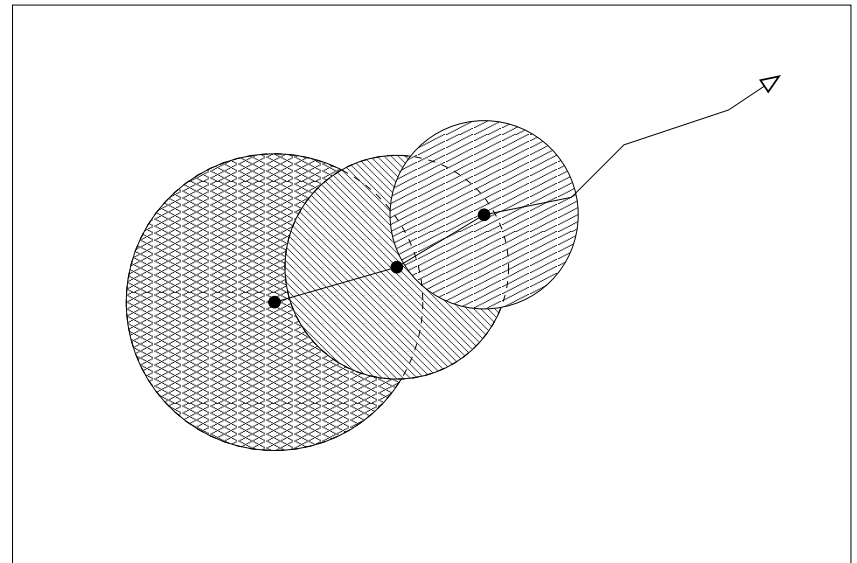


III - Base POD réactualisée *Résolution du problème d'optimisation*

Quand avoir recours au modèle de Navier-Stokes pour "rafraîchir" la base POD ?

→ Déterminer un domaine de validité du modèle réduit

- Domaine "infini" (pas de contraintes)
- Détermination empirique : méthode adaptative
- Détermination automatique : méthode à région de confiance (TRPOD)



Avantages TRPOD

- ▶ Pas d'empirisme
- ▶ Preuves de convergence de la solution sous certaines conditions
- ▶ Coûts de calcul identiques à méthode adaptative

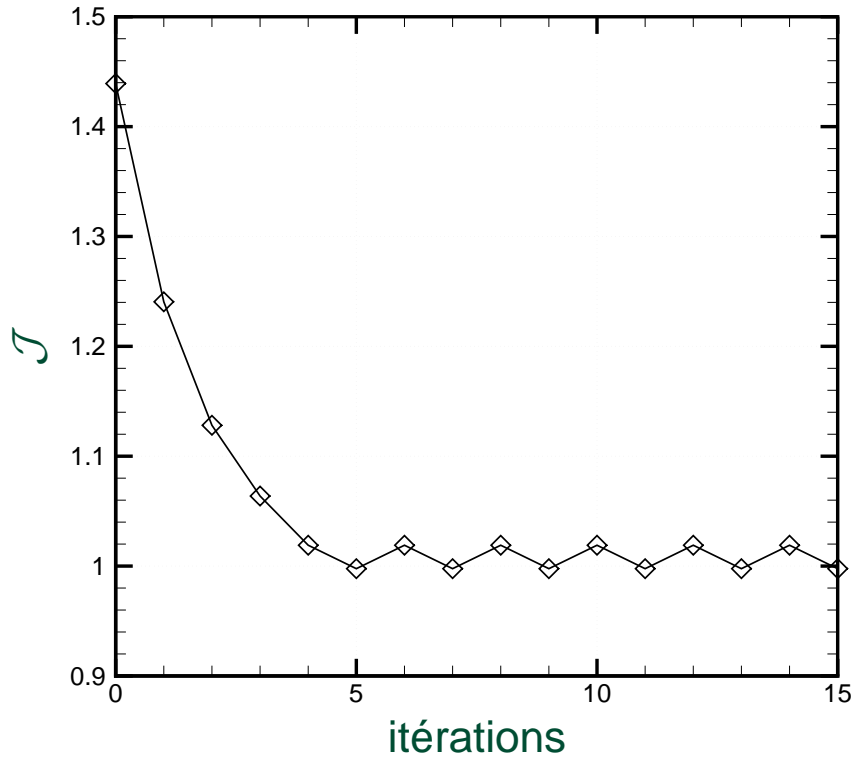
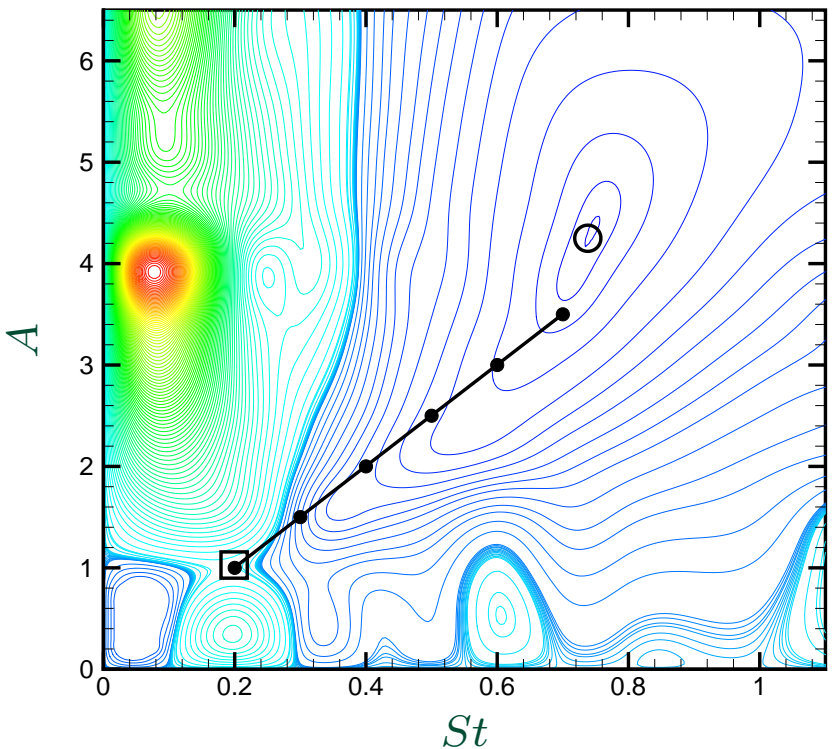


Conn, A.R., Gould, N.I.M. et Toint, P.L. (2000) : Trust-region methods. *SIAM, Philadelphia.*



III - Base POD réactualisée *Méthode adaptative*

Paramètres de contrôle initiaux : $A = 1,0$ et $St = 0,2$



Paramètres de contrôle obtenus : oscillations autour de $A = 3,25$ et $St = 0,65$

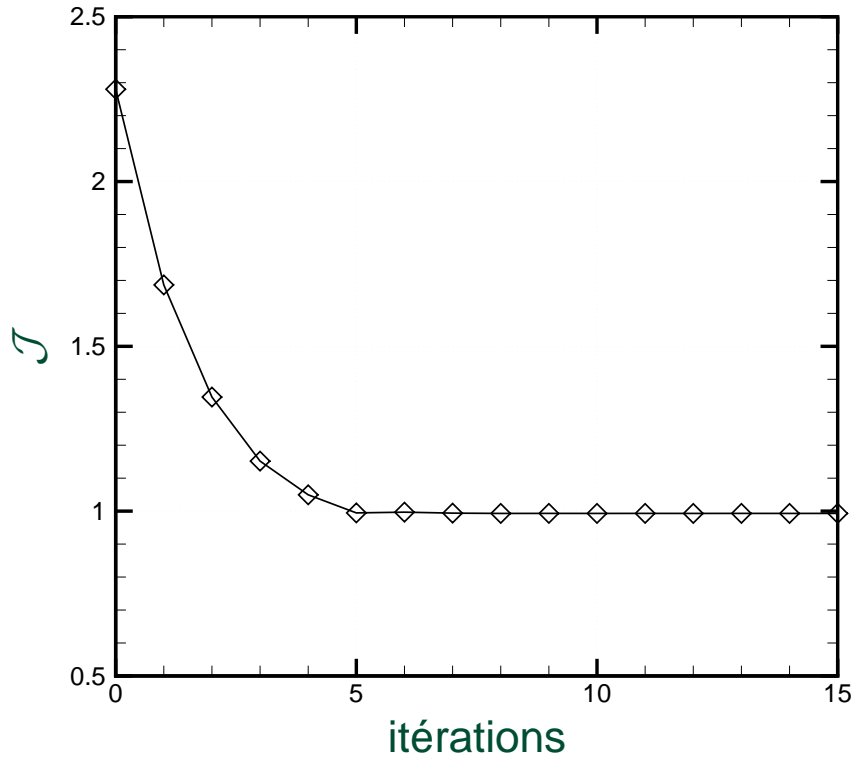
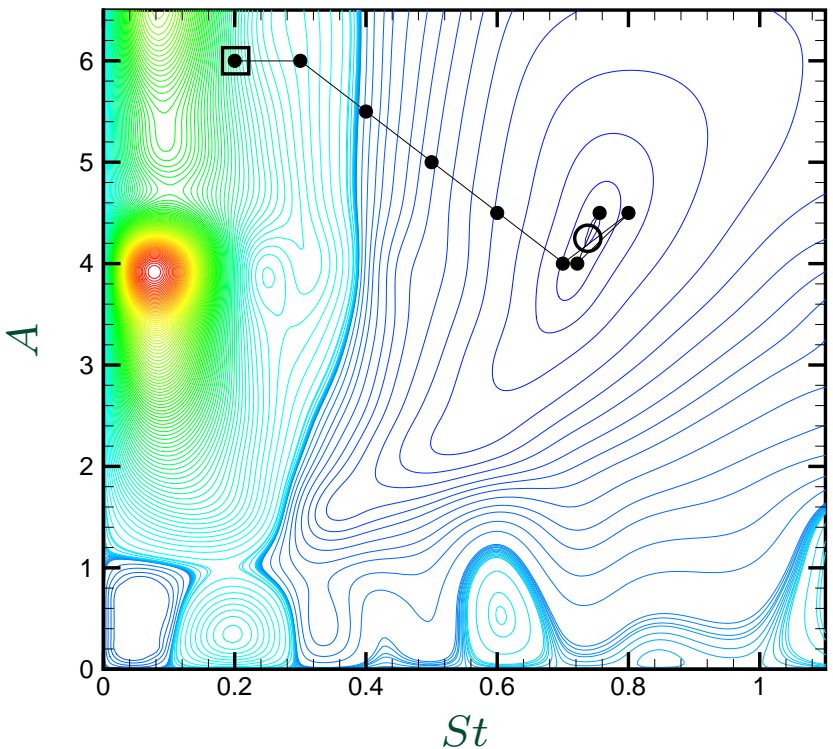
Coefficient de traînée moyen : $\mathcal{J} = 1,01$

Pas de convergence...



III - Base POD réactualisée *Méthode adaptative*

Paramètres de contrôle initiaux : $A = 6,0$ et $St = 0,2$



Paramètres de contrôle obtenus : oscillations autour de $A = 4,25$ et $St = 0,74$

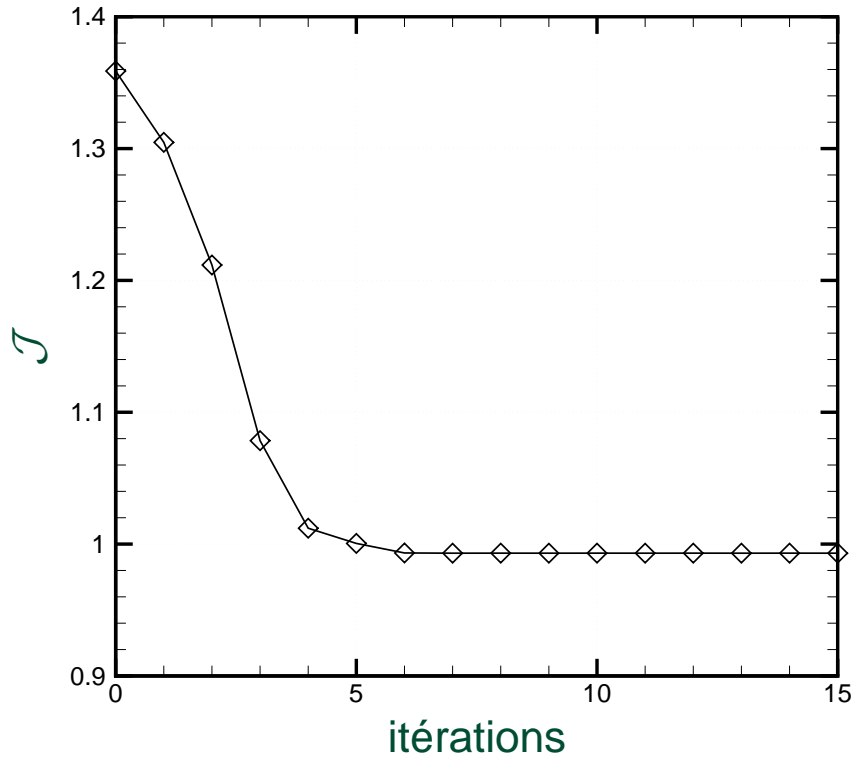
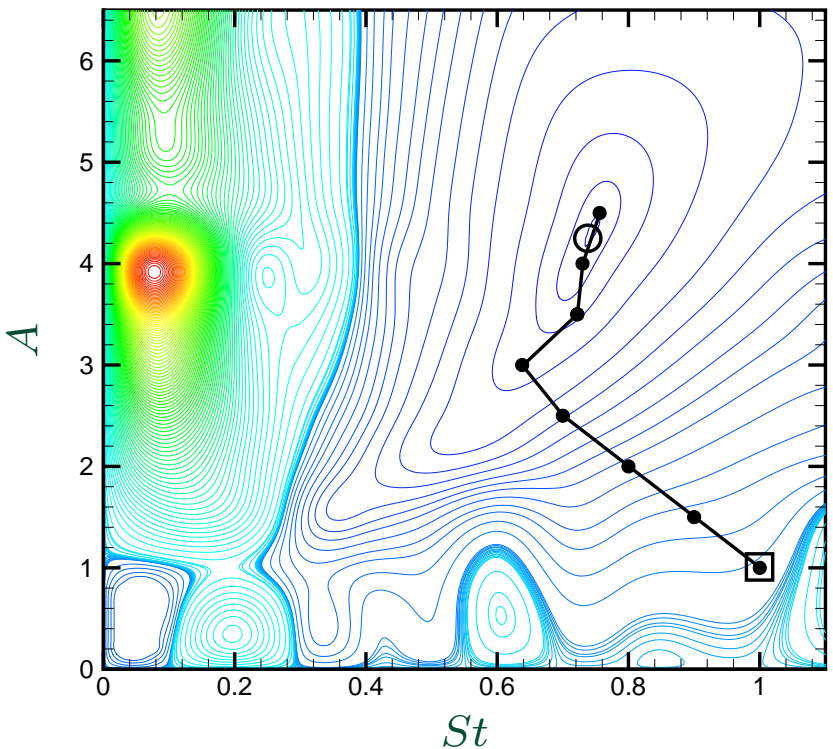
Coefficient de traînée moyen : $\mathcal{J} = 0,993$

Pas de convergence...



III - Base POD réactualisée *Méthode adaptative*

Paramètres de contrôle initiaux : $A = 1,0$ et $St = 1,0$



Paramètres de contrôle obtenus : oscillations autour de $A = 4,25$ et $St = 0,74$

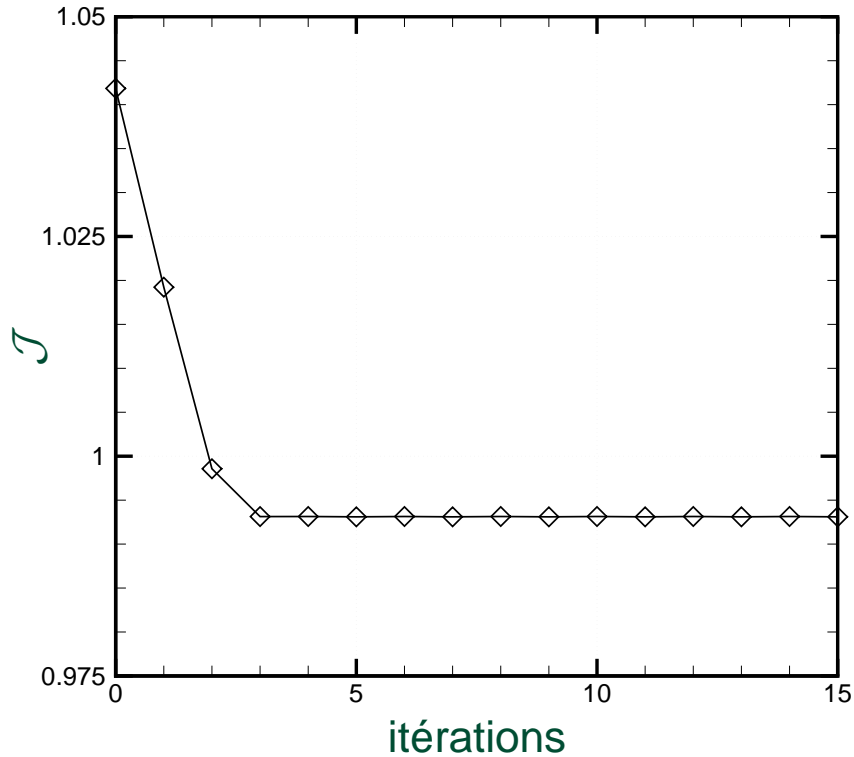
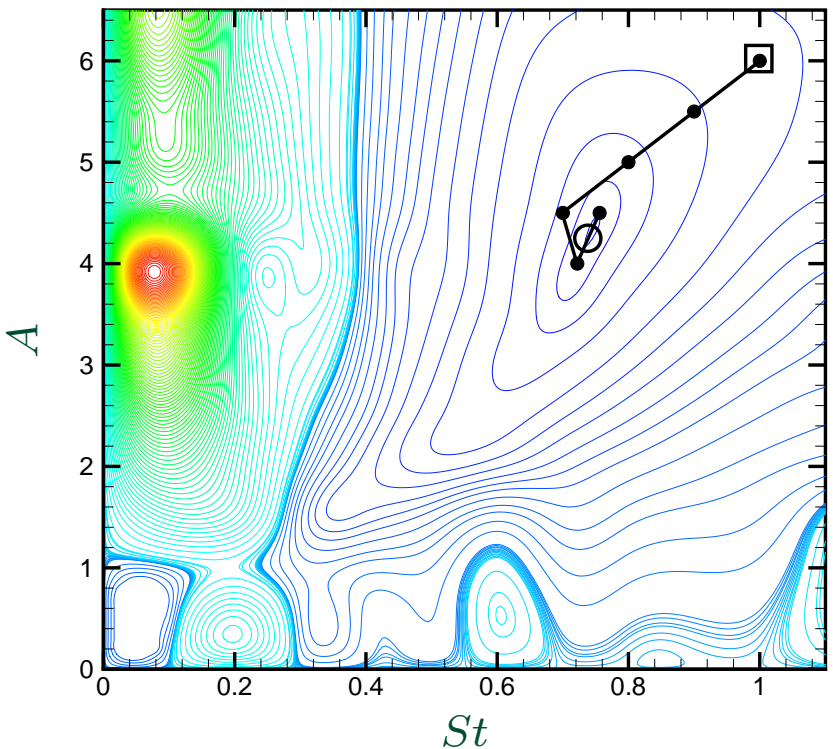
Coefficient de traînée moyen : $\mathcal{J} = 0,993$

Pas de convergence...



III - Base POD réactualisée *Méthode adaptative*

Paramètres de contrôle initiaux : $A = 6,0$ et $St = 1,0$



Paramètres de contrôle obtenus : oscillations autour de $A = 4,25$ et $St = 0,74$

Coefficient de traînée moyen : $\mathcal{J} = 0,993$

Pas de convergence...



III - Base POD réactualisée Méthode à région de confiance (TRPOD)

Initialisation : c_0 , résolution du modèle de Navier-Stokes, \mathcal{J}_0 . $k = 0$.

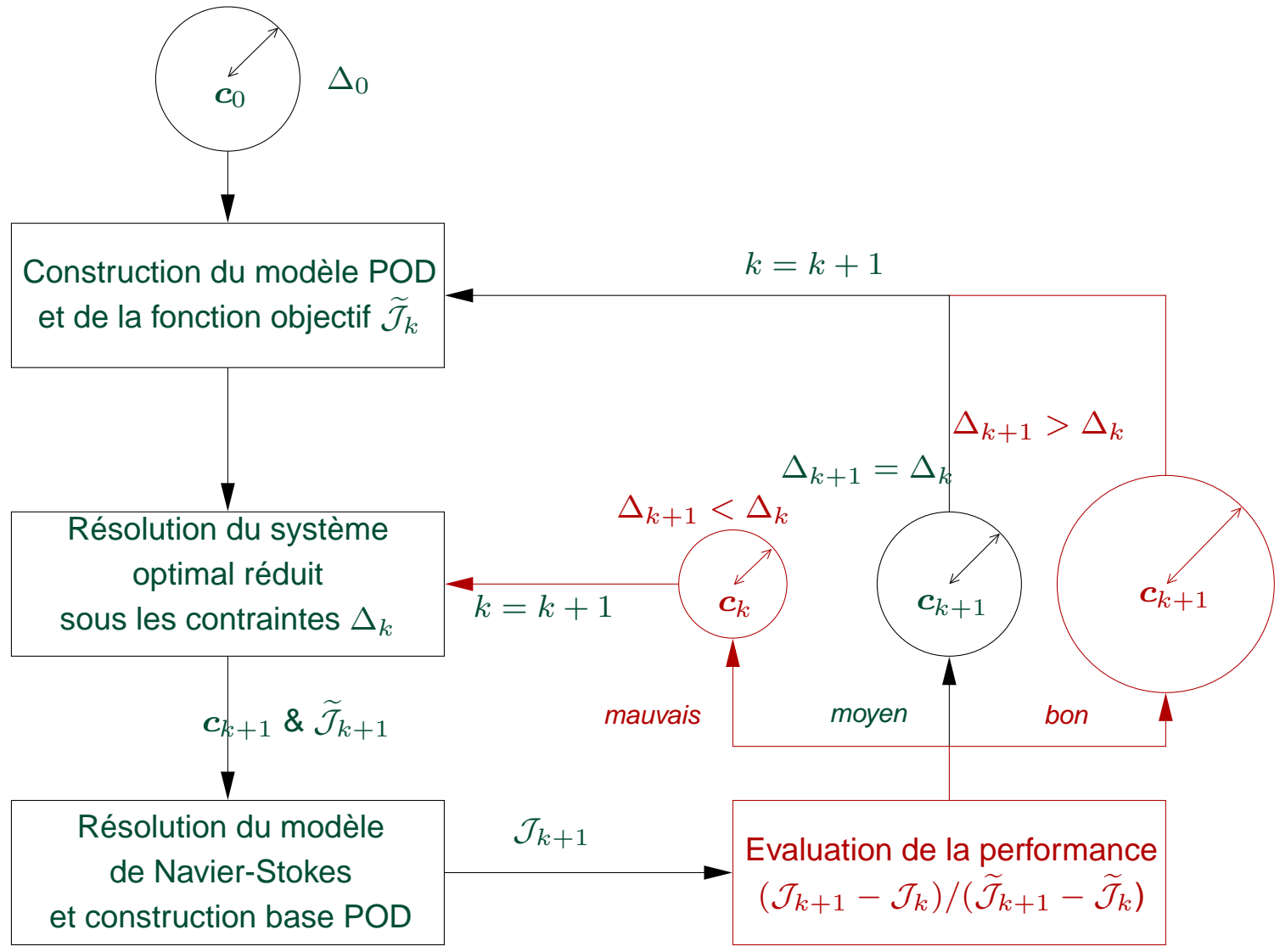
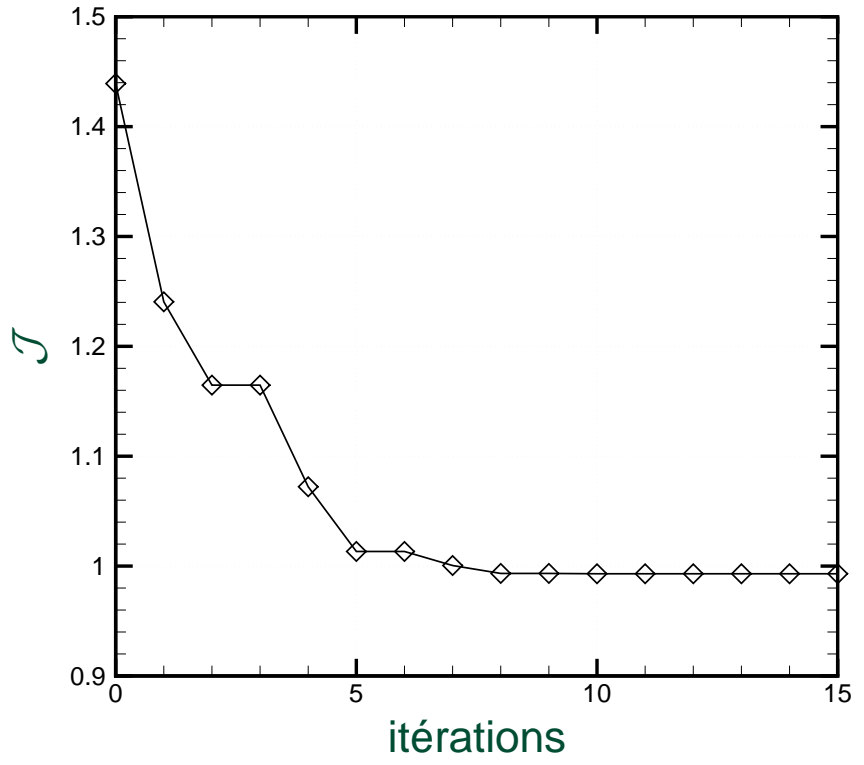
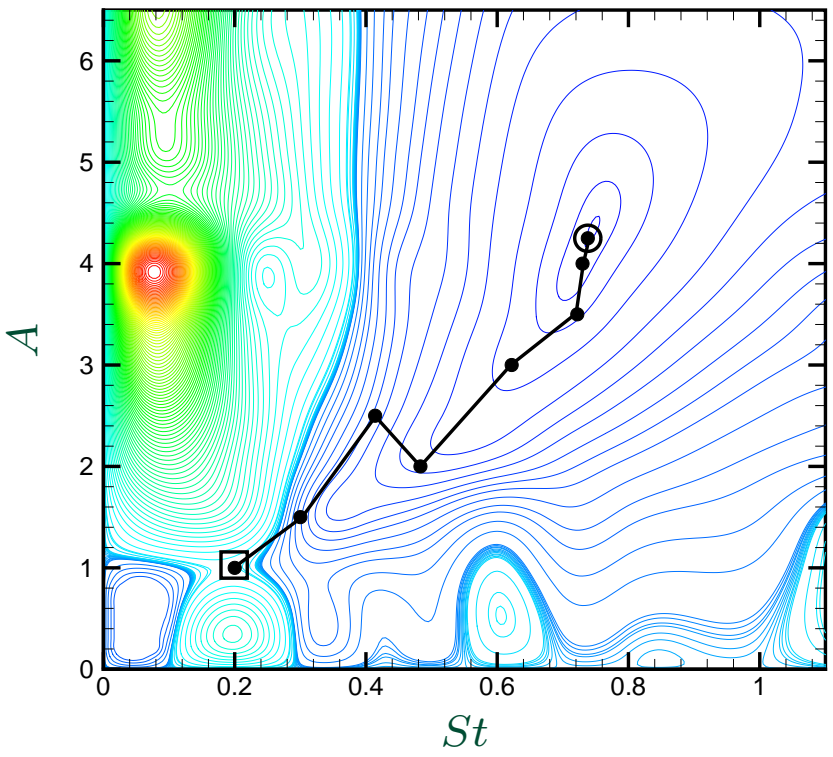


Fig. : Schématisation de la méthode à région de confiance.



III - Base POD réactualisée Méthode à région de confiance (TRPOD)

Paramètres de contrôle initiaux : $A = 1,0$ et $St = 0,2$



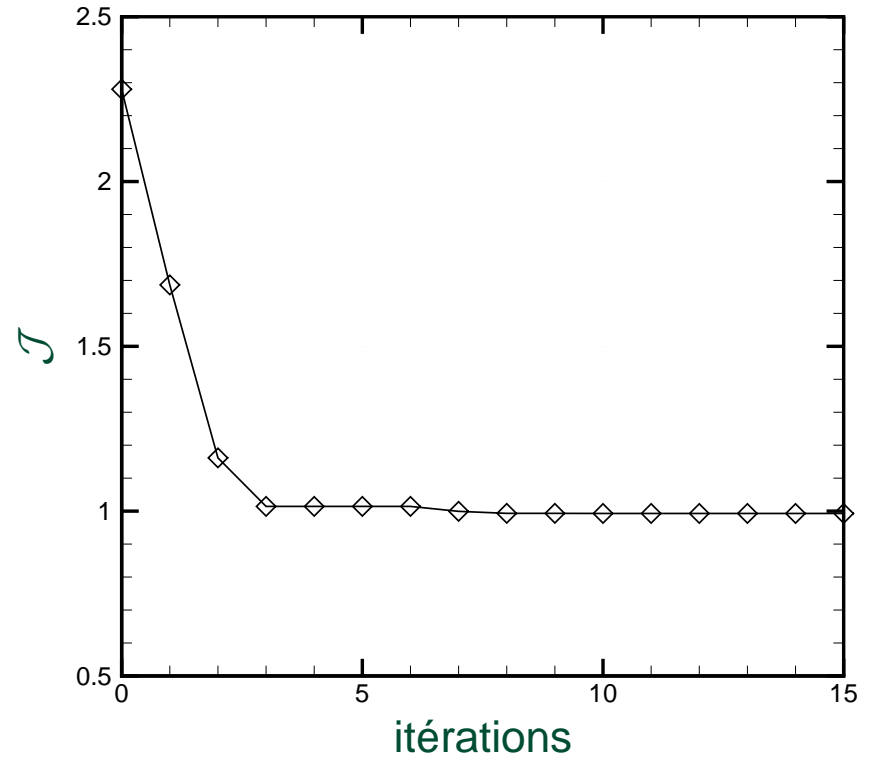
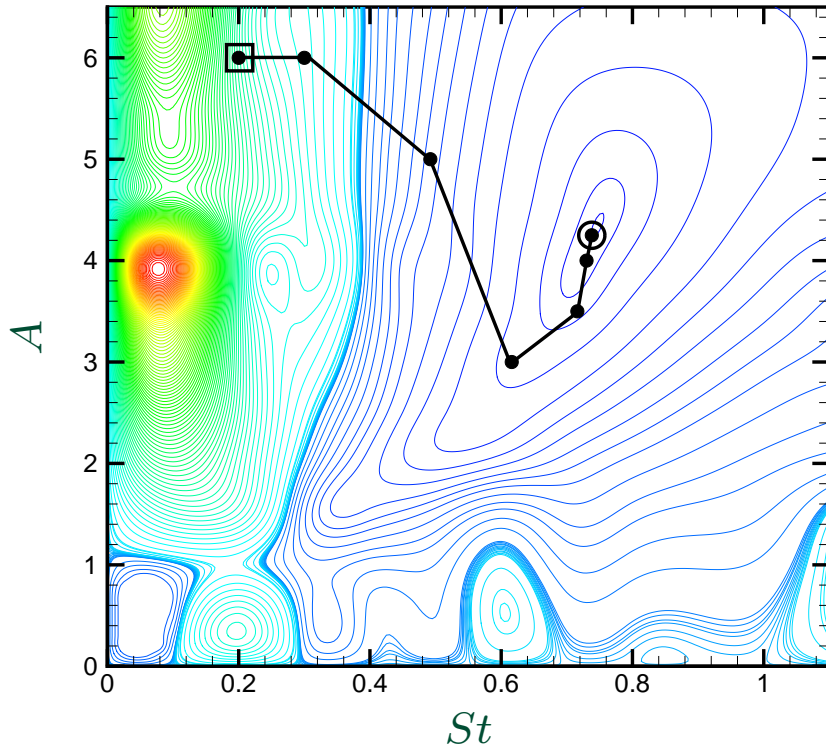
Paramètres de contrôle optimaux : $A = 4,25$ et $St = 0,74$

Convergence : coefficient de traînée moyen : $\mathcal{J} = 0,993$,
obtenus en uniquement 8 résolutions de Navier-Stokes



III - Base POD réactualisée *Méthode à région de confiance (TRPOD)*

Paramètres de contrôle initiaux : $A = 6,0$ et $St = 0,2$



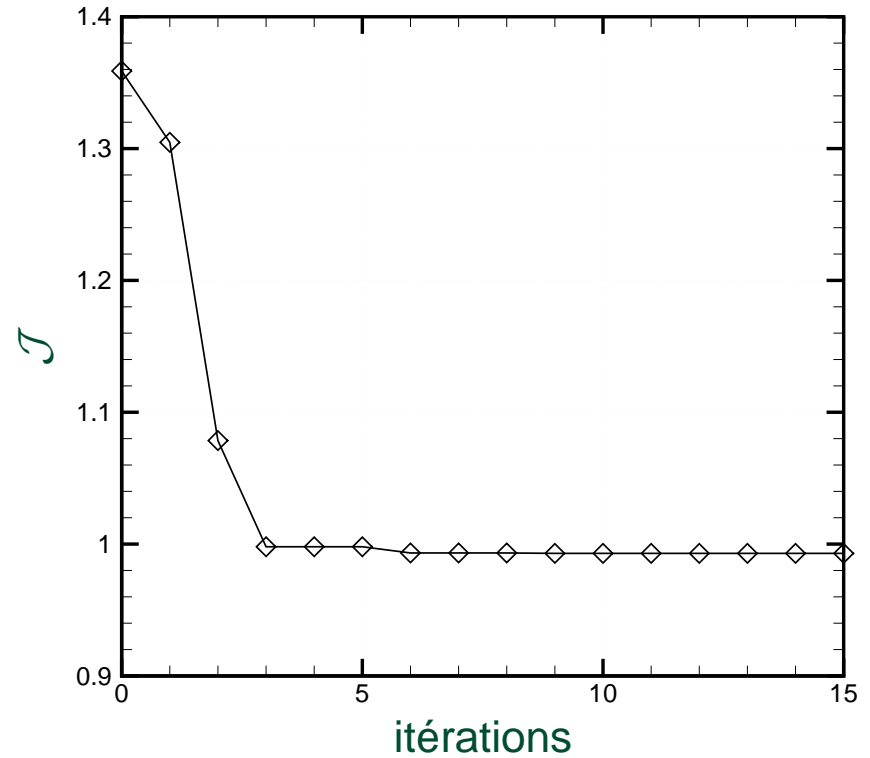
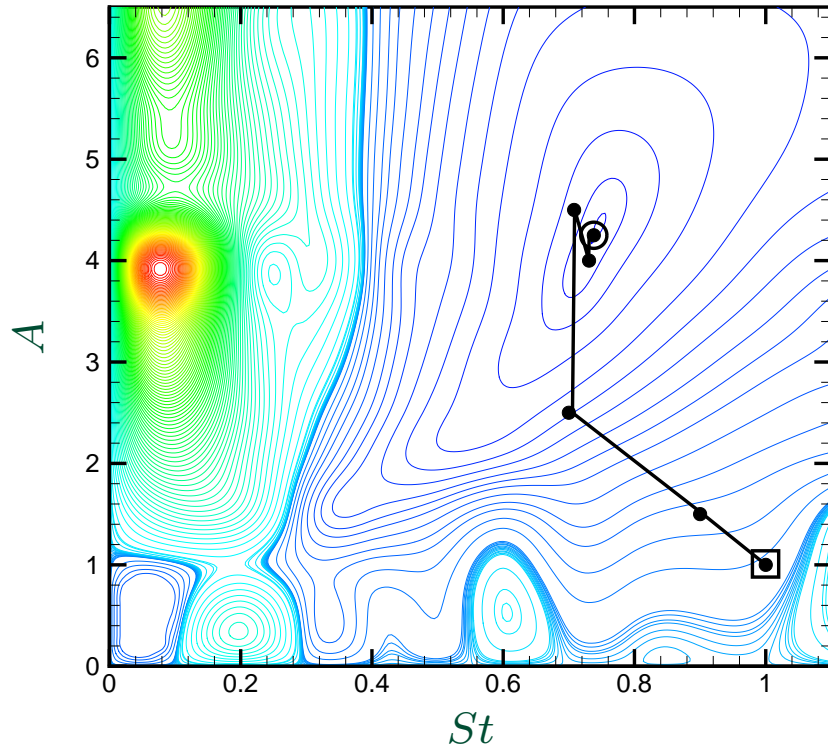
Paramètres de contrôle optimaux : $A = 4,25$ et $St = 0,74$

Convergence : coefficient de traînée moyen : $\mathcal{J} = 0,993$,
obtenus en uniquement 6 résolutions de Navier-Stokes



III - Base POD réactualisée *Méthode à région de confiance (TRPOD)*

Paramètres de contrôle initiaux : $A = 1,0$ et $St = 1,0$



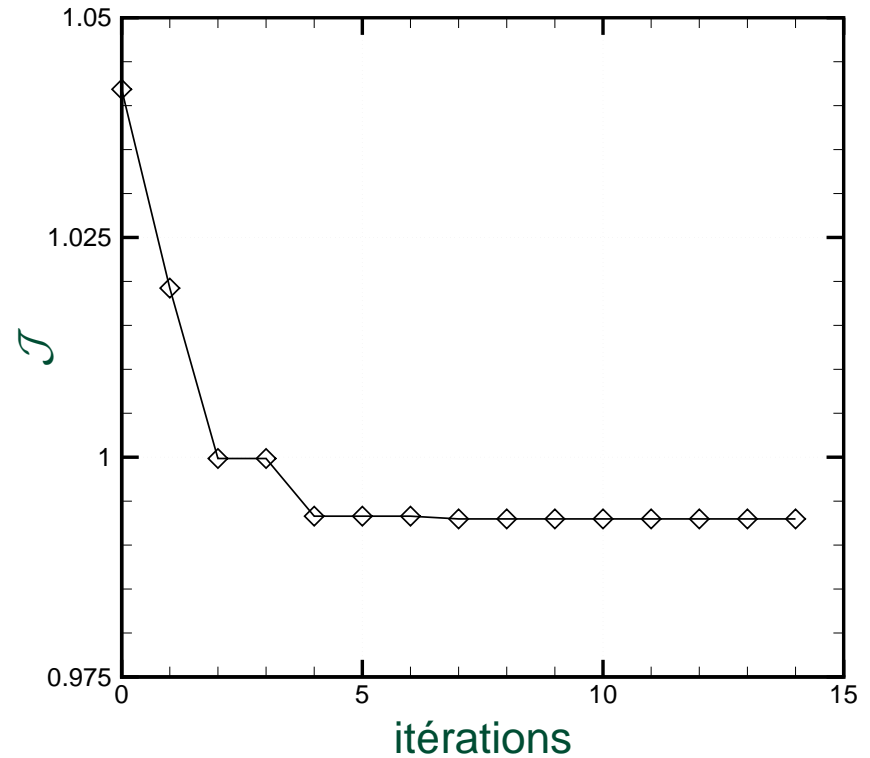
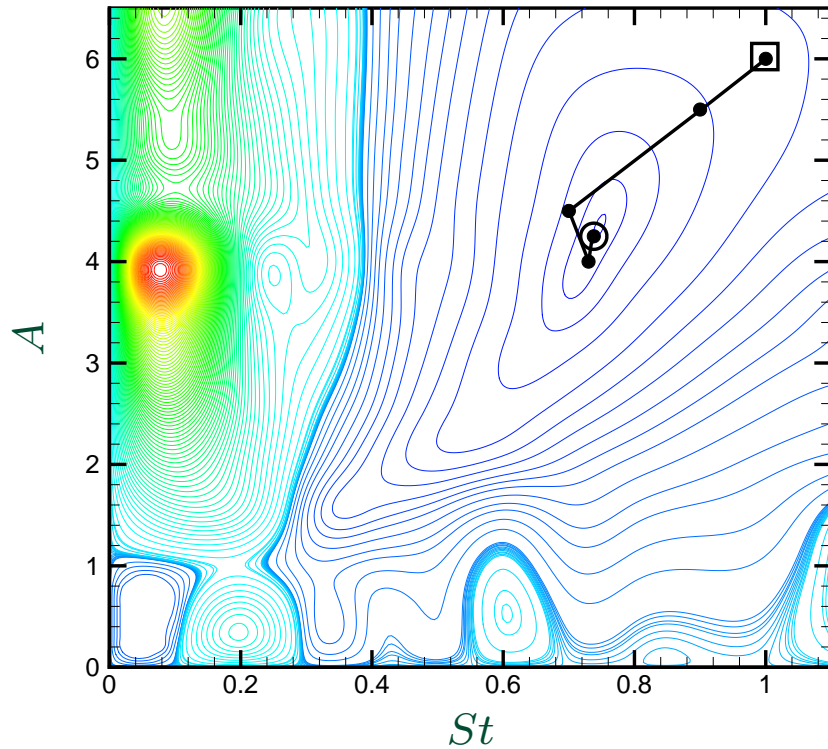
Paramètres de contrôle optimaux : $A = 4,25$ et $St = 0,74$

Convergence : coefficient de traînée moyen : $\mathcal{J} = 0,993$,
obtenus en uniquement 5 résolutions de Navier-Stokes



III - Base POD réactualisée *Méthode à région de confiance (TRPOD)*

Paramètres de contrôle initiaux : $A = 6,0$ et $St = 1,0$



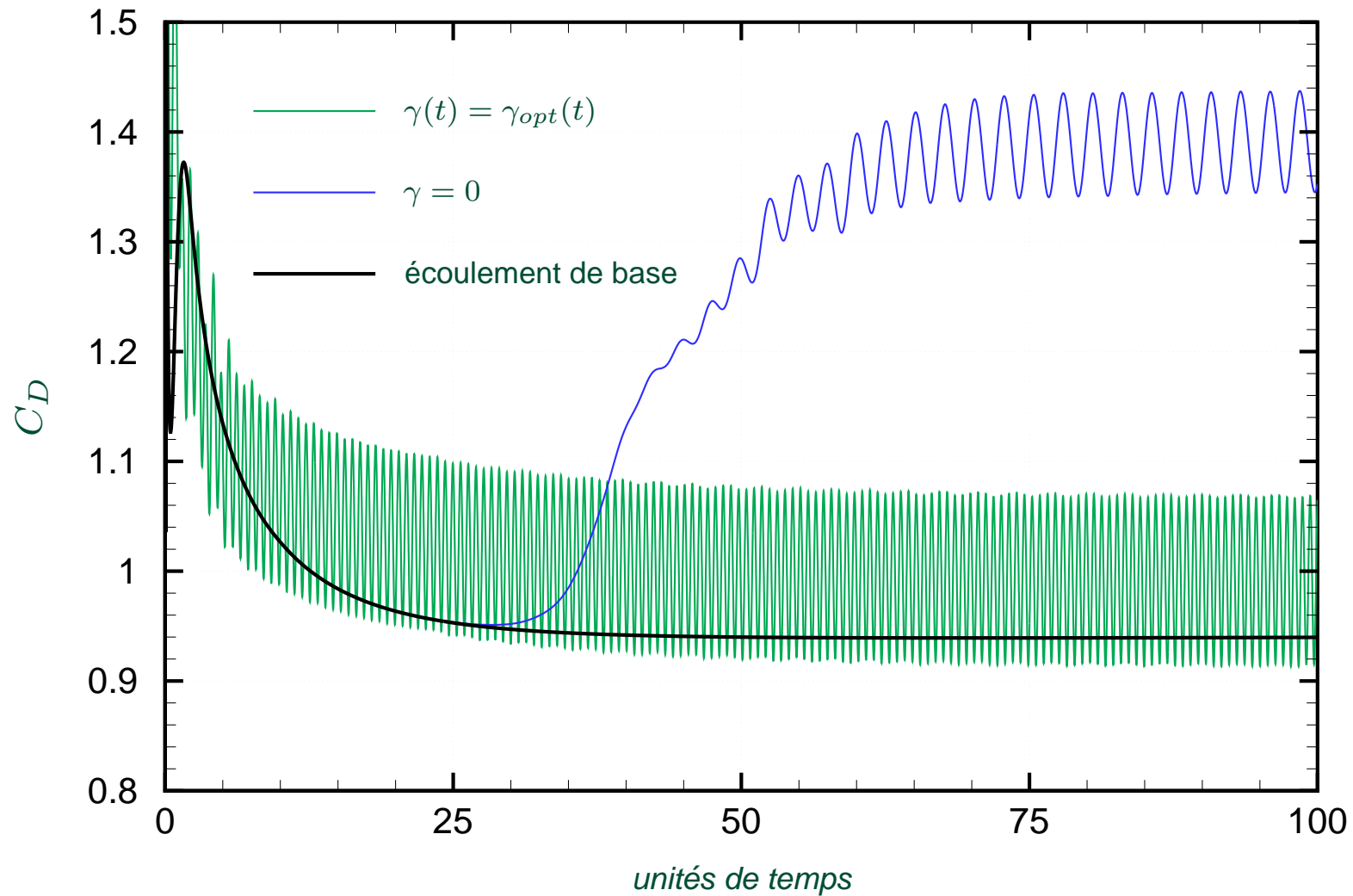
Paramètres de contrôle optimaux : $A = 4,25$ et $St = 0,74$

Convergence : coefficient de traînée moyen : $\mathcal{J} = 0,993$,
obtenus en uniquement 4 résolutions de Navier-Stokes



III - Base POD réactualisée Résultats numériques

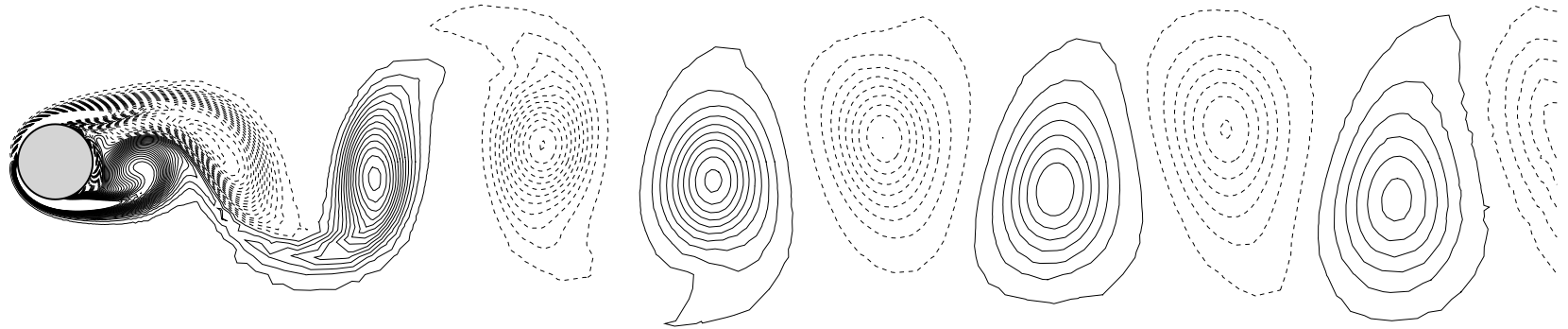
► Loi de contrôle optimale : $\gamma_{opt}(t) = A \sin(2\pi St_f t)$ avec $A = 4,25$ et $St_f = 0,74$



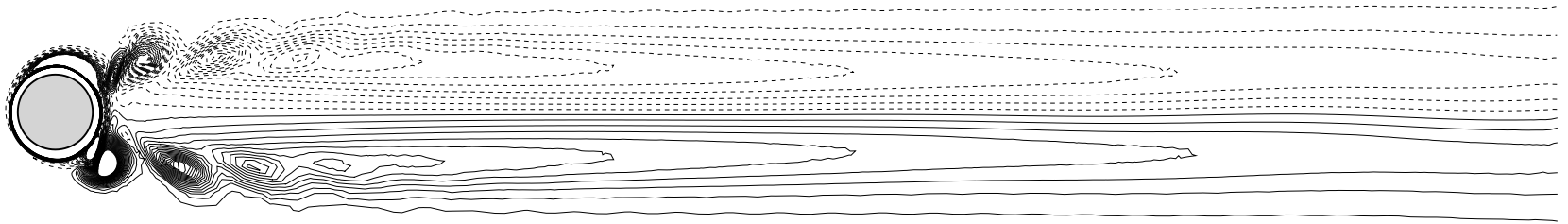
► Diminution relative du coefficient de traînée de 30% ($\mathcal{J}_0 = 1,4 \Rightarrow \mathcal{J}_{opt} = 0,99$)



III - Base POD réactualisée *Résultats numériques*



Écoulement non contrôlé, $\gamma = 0$.



Écoulement contrôlé, $\gamma = \gamma_{opt}$.

Fig. : *Isocontours de vorticité ω_z .*

Écoulement contrôlé : Sillage proche fortement instationnaire, sillage lointain (après 5 diamètres) stationnaire et symétrique → écoulement de base stationnaire instable



Conclusions

Etude paramétrique

- ▶ Paramètres de contrôle "optimaux" : $A = 4,25$ et $St_f = 0,74$.
- ▶ (A, St_f) liés : $\Theta = \frac{A}{\pi St_f} = 95^\circ$

Optimisation avec réactualisation de la base POD (*TRPOD*)

- ▶ Loi de contrôle *optimale* harmonique : $A = 4,25$ et $St_f = 0,74$.
 - ↪ 30% de réduction relative de traînée
- ▶ Réduction des coûts de calculs - comparaison control optimal POD/NSE
 - ↪ En temps : **4 fois**, en mémoire **1 600 fois**

TRPOD : technique appropriée et efficace pour le contrôle d'écoulements avec preuves de convergence !



- Extension à des géométries complexes 3D en régime turbulent
⇒ Ailes d'avion, automobiles
 - Précautions sur le choix des réalisations
⇒ Méthode *Centroidal Voronoi Tessellation* (CVT) proposée par Gunzburger
⇒ Propriétés de stabilité (Rempfer, Noack)
 - Amélioration de la représentativité POD ROM par *balanced POD* (Rowley, Willcox)
 - Comparaisons avec expériences : même loi optimale ?
 - Contrôle optimal Navier-Stokes : comparaisons coûts de calcul
 - Prendre en compte le coût lié au contrôle : puissance gagnée/puissance dépensée
- ▶ Contrôle partiel (3 paramètres de contrôle)
⇒ Effet propulsif, signe écoulement moyen inversé,
(premiers résultats encourageants)

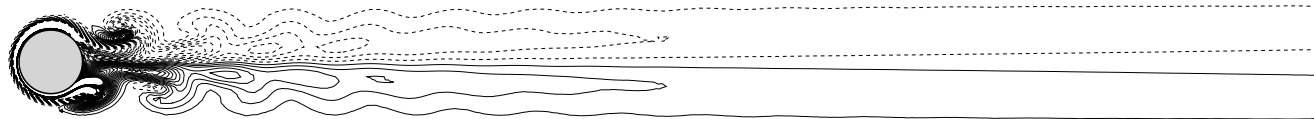


Fig. : *Contrôle sur la partie amont : $-120^\circ \leq \theta \leq 120^\circ$*
[Bergmann *et al.*, Phys. Fluids, à paraître]

